

Санкт-Петербургский государственный университет  
Прикладная математика и информатика  
Вычислительная стохастика и статистические модели

Пимахов Кирилл Юрьевич

ЭКСПОНЕНЦИАЛЬНЫЕ СИГНАЛЫ В АНАЛИЗЕ СИНГУЛЯРНОГО  
СПЕКТРА

Бакалаврская работа

Научный руководитель:  
к. ф.-м. н., доцент В. В. Некруткин

Рецензент:  
к. ф.-м. н., доцент Н. Э. Голяндина

Санкт-Петербург

2016

Saint Petersburg State University  
Applied Mathematics and Computer Science  
Computational Stochastics and Statistical Models

Pimakhov Kirill Yuryevich

EXPONENTIAL SIGNALS IN SINGULAR SPECTRUM ANALYSIS

Bachelor's Thesis

Scientific Supervisor:

Associate Professor V. V. Nekrutkin

Reviewer:

Associate Professor N. E. Golyandina

Saint Petersburg

2016

# Оглавление

<b>Глава 1. Введение</b> . . . . .	4
1.1. Общее описание задачи. . . . .	4
1.2. Результаты работы . . . . .	8
<b>Глава 2. Достаточное условие разложения Като</b> . . . . .	11
2.1. Асимптотика $\mu_{\min}$ и $\mu_{\max}$ . . . . .	11
2.2. Асимптотика $\mathbf{B}(\delta)/\mu_{\min}$ . . . . .	14
<b>Глава 3. О скорости сходимости <math>\ \mathbf{P}_0^\perp(\delta) - \mathbf{P}_0^\perp\ </math> и асимптотике <math>\ \mathbf{V}_0^{(1)}\ </math></b> . . . . .	16
3.1. Оценка теоремы 1.1.2 . . . . .	16
3.2. Асимптотика нормы матрицы $\mathbf{V}_0^{(1)}$ . . . . .	24
<b>Глава 4. Ошибки восстановления</b> . . . . .	28
4.1. Общее описание задачи и метода решения . . . . .	28
4.2. Ошибка восстановления последнего элемента сигнала . . . . .	29
<b>Заключение</b> . . . . .	34
<b>Список литературы</b> . . . . .	35
<b>Приложение А. Численная иллюстрация полученных результатов</b> . . . . .	36
А.1. Асимптотики собственных чисел . . . . .	37
А.2. Асимптотики $\alpha_i$ . . . . .	38
А.3. Асимптотика $\ \mathbf{S}_0\mathbf{B}(\delta)\mathbf{P}_0\ $ . . . . .	39
А.4. Асимптотика $\ \mathbf{V}_0^{(1)}\ $ . . . . .	40
А.5. Ошибки восстановления последнего элемента . . . . .	41
А.6. Значения $r_\infty$ . . . . .	43
А.7. Поведение нормы разности проекторов . . . . .	44
А.8. Главный член разности проекторов . . . . .	46

## Глава 1

## Введение

## 1.1. Общее описание задачи.

Существует семейство методов анализа временных рядов, основанных на *Signal Subspace* подходе. Для них, в частности, точность оценки незашумленного временного ряда зависит от близости некоторых пространств. Следуя [1], рассмотрим следующую задачу.

Пусть имеется исходный ряд («сигнал»)  $F_N = (f_0, f_1, \dots, f_{N-1})$ , «помеха»  $E_N = (e_0, e_1, \dots, e_{N-1})$ , и наблюдается ряд  $F_N(\delta) = F_N + \delta E_N$ . Задача состоит в том, чтобы получить приемлемое приближение  $\tilde{F}_N(\delta)$  к сигналу  $F_N$ .

Прежде чем формально описать рассматриваемый способ решения этой задачи, введем нужные обозначения.

Будем считать, что ряд  $F_N$  можно задать с помощью рекуррентной формулы

$$f_n = \sum_{k=1}^d b_k f_{n-k}, \quad n \geq d. \quad (1.1.1)$$

с минимально возможным для данного ряда  $d$ . Преобразуем временной ряд  $F_N$ , удовлетворяющий формуле (1.1.1), в матрицу  $\mathbf{H}$  размерности  $L \times K$ , где  $L + K = N - 1$  и  $\min(L, K) \geq d$ :

$$\mathbf{H} = \begin{pmatrix} f_0 & f_1 & \cdots & f_{K-1} \\ f_1 & \ddots & & f_K \\ \vdots & & \ddots & \vdots \\ f_{L-1} & f_L & \cdots & f_{L+K-1} \end{pmatrix}.$$

Такая матрица называется траекторной. Она содержит много важной информации о ряде. Например,  $\text{rank } \mathbf{H} = d$  где  $d$  — количество начальных элементов, задающих рекуррентную последовательность (1.1.1). Аналогичную матрицу для ряда  $E_N$  будем обозначать  $\mathbf{E}$ .

Траекторную матрицу для  $F_N(\delta)$  будем обозначать  $\mathbf{H}(\delta) = \mathbf{H} + \delta \mathbf{E}$ . Но нам больше интересна симметричная матрица  $\mathbf{A}$  размера  $L \times L$ , задаваемая равенством  $\mathbf{A} = \mathbf{H}\mathbf{H}^T$ . Заметим, что её собственные числа вещественные и неотрицательные. Пусть  $\mathcal{U}_0$  — подпространство, порожденное собственными векторами матрицы  $\mathbf{A}$  с собственным числом

0, а  $\mathbb{U}_0^\perp$  — его ортогональное дополнение. Тогда  $\mathbf{P}_0$  и  $\mathbf{P}_0^\perp$  — соответственно операторы ортогонального проектирования на эти подпространства.

Обозначим  $\mathbb{U}_0^\perp(\delta)$  подпространство, образованное  $d$  собственными векторами матрицы  $\mathbf{A}(\delta) = \mathbf{H}(\delta)\mathbf{H}^\mathbf{T}(\delta)$ , соответствующими её наибольшим собственным числам, а  $\mathbf{P}_0^\perp(\delta)$  — оператор ортогонального проектирования на это подпространство.  $\mathbb{U}_0^\perp$  и  $\mathbb{U}_0^\perp(\delta)$  и есть интересующие нас пространства. Их близость будем оценивать как близость их операторов проектирования  $\|\mathbf{P}_0^\perp(\delta) - \mathbf{P}_0^\perp\|$ , причем рассматриваться будет асимптотический случай  $N \rightarrow \infty$ .

Один из главных результатов, с помощью которого делаются оценки  $\|\mathbf{P}_0^\perp(\delta) - \mathbf{P}_0^\perp\|$ , основан на классическом разложении Т. Като [2] и имеет (см. [1, th.2.1]) следующий вид.

**Теорема 1.1.1** (Разложение Като). *Если существует такое  $\delta_0$ , что при любом  $\delta \in (-\delta_0, \delta_0)$  выполнено неравенство  $\|\mathbf{B}(\delta)\| < \mu_{\min}/2$ , то*

$$\mathbf{P}_0^\perp(\delta) = \mathbf{P}_0^\perp + \sum_{p=1}^{\infty} \mathbf{W}_p(\delta), \quad (1.1.2)$$

где

$$\mathbf{W}_p(\delta) = (-1)^p \sum_{l_1 + \dots + l_{p-1} = p, l_j \geq 0} \mathbf{W}_p(l_1, \dots, l_{p+1})$$

и

$$\mathbf{W}_p(l_1, \dots, l_{p+1}) = \mathbf{S}_0^{l_1} \mathbf{B}(\delta) \mathbf{S}_0^{l_2} \dots \mathbf{S}_0^{l_p} \mathbf{B}(\delta) \mathbf{S}_0^{l_{p+1}}.$$

Также имеет место ещё одно разложение:

$$\mathbf{P}_0^\perp(\delta) = \mathbf{P}_0^\perp + \sum_{n=1}^{\infty} \delta^n \mathbf{V}_0^{(n)}, \quad (1.1.3)$$

где

$$\mathbf{V}_0^{(n)} = \sum_{p=\lceil n/2 \rceil}^n (-1)^n \sum_{\substack{s_1 + \dots + s_p = n, s_i = 1, 2 \\ l_1 + \dots + l_{p+1} = p, l_j \geq 0}} \mathbf{V}_0^{(n)}(\mathfrak{s}, \mathfrak{l}),$$

$$\mathfrak{s} = (s_1, \dots, s_p), \mathfrak{l} = (l_1, \dots, l_{p+1}) \text{ и } \mathbf{V}_0^{(n)}(\mathfrak{s}, \mathfrak{l}) = \mathbf{S}_0^{l_1} \mathbf{A}^{(s_1)} \mathbf{S}_0^{l_2} \dots \mathbf{S}_0^{l_p} \mathbf{A}^{(s_p)} \mathbf{S}_0^{l_{p+1}}.$$

Пусть  $\mathbf{S}_0$  — псевдообратная матрица к  $\mathbf{A}$ ,  $\mathbf{S}_0^{(0)} = -\mathbf{P}_0$  и  $\mathbf{S}_0^{(k)} = \mathbf{S}_0^k$  для  $k > 1$ . Обозначим  $\mathbf{A}^{(1)} = \mathbf{H}\mathbf{E}^\mathbf{T} + \mathbf{E}\mathbf{H}^\mathbf{T}$ ,  $\mathbf{A}^{(2)} = \mathbf{E}\mathbf{E}^\mathbf{T}$ ,  $\mathbf{B}(\delta) = \delta\mathbf{A}^{(1)} + \delta^2\mathbf{A}^{(2)}$ , а также  $\mu_{\min}$  и  $\mu_{\max}$  — минимальное и максимальное положительные собственные числа  $\mathbf{A}$ .

Далее используется несколько результатов о близости проекторов  $\mathbf{P}_0^\perp(\delta)$  и  $\mathbf{P}_0$  (именно на близости пространств  $\mathbb{U}_0^\perp$  и  $\mathbb{U}_0^\perp(\delta)$  основаны многие Signal Subspace методы).

**Теорема 1.1.2.** [1, th.2.3].

Если существует такое  $\delta_0 > 0$ , что при любом  $\delta \in (-\delta_0, \delta_0)$  выполнено неравенство  $\|\mathbf{B}(\delta)\| < \mu_{\min}/4$ , то

$$\|\mathbf{P}_0^\perp(\delta) - \mathbf{P}_0\| \leq 4C \frac{\|\mathbf{S}_0 \mathbf{B}(\delta) \mathbf{P}_0\|}{1 - 4\|\mathbf{B}(\delta)\|/\mu_{\min}}, \quad (1.1.4)$$

где  $C$  — некоторая абсолютная константа.

**Теорема 1.1.3.** [1, prop.3.1].

Пусть  $\Theta = \Theta_1 \Theta_2$ ,  $\Theta_1 = \sqrt{\nu_{\max}/\mu_{\max}}$ ,  $\Theta_2 = \mu_{\max}/\mu_{\min}$ , где  $\mu_{\min}, \mu_{\max}$  — минимальное и максимальное положительные собственные числа матрицы  $\mathbf{A}$ , а  $\nu_{\max}$  — максимальное собственное число  $\mathbf{A}^{(2)}$ . Если  $\Theta \rightarrow 0$  при  $N \rightarrow \infty$ , то

$$\left\| \mathbf{P}_0^\perp(\delta) - \mathbf{P}_0^\perp - \delta \mathbf{V}_0^{(1)} \right\| = \delta^2 O(\Theta^2),$$

где

$$\mathbf{V}_0^{(1)} = \mathbf{P}_0 \mathbf{E} \mathbf{H}^T \mathbf{S}_0 + \mathbf{S}_0 \mathbf{H} \mathbf{E}^T \mathbf{P}_0. \quad (1.1.5)$$

В настоящей работе рассматривается один из Signal Subspace методов, называемый SSA (Singular Spectrum Analysis). Он используется для разделения исходного ряда на несколько различных интерпретируемых аддитивных компонент. Подробное описание метода можно найти в [3] или в [4].

В статье [1] рассматривается вариант SSA, посвященный уже описанной задаче отделения сигнала  $\mathbf{F}_N = (f_0, \dots, f_{N-1})$  от аддитивной помехи  $\mathbf{E}_N = (e_0, \dots, e_{N-1})$  при больших  $N$ .

В рассматриваемой ситуации процедуру SSA можно описать следующим образом.

1. производится сингулярное разложение матрицы  $\mathbf{H}(\delta)$ ;
2. элементарные матрицы этого разложения, соответствующие  $d$  наибольшим сингулярным числам, суммируются. В результате получается матрица  $\tilde{\mathbf{H}}$ ;
3. производится ганкелизация матрицы  $\tilde{\mathbf{H}}$ , то есть строится ганкелева матрица, наиболее близкая к  $\tilde{\mathbf{H}}$  по норме Фробениуса;
4. наконец, эта матрица взаимно-однозначным образом преобразуется во временной ряд  $\tilde{\mathbf{F}}_N(\delta)$ , который объявляется приближением к  $\mathbf{F}_N$ . В дальнейшем оператор перехода от произвольной матрицы  $\mathbf{G}$  к порождаемому ею временному ряду  $\mathbf{G}$  обозначается  $\mathcal{S}$ , так что  $\mathbf{G} = \mathcal{S}(\mathbf{G})$ .

В [1] показано, что ряд  $\tilde{F}_N(\delta) - F_N$  (то есть ряд из погрешностей полученной аппроксимации сигнала  $F_N$ ) имеет следующий вид;

$$\tilde{F}_N(\delta) - F_N = \mathcal{S}((\mathbf{P}_0^\perp(\delta) - \mathbf{P}_0^\perp) \mathbf{H}(\delta) + \delta \mathbf{P}_0^\perp \mathbf{E}). \quad (1.1.6)$$

Формула (1.1.6) подчеркивает роль близости пространств  $\mathbb{U}_0^\perp$  и  $\mathbb{U}_0^\perp(\delta)$  в методе SSA.

Представление (1.1.6), в частности, было применено в [1] для растущего экспоненциального сигнала  $f_n = a^n$  с  $a > 1$  и постоянной помехи  $e_n = 1$ . При этом оказалось, что максимальная по модулю погрешность аппроксимации элементов сигнала  $F_N$  не будет стремиться к нулю, если  $L \sim \alpha N$  с  $\alpha \in (0, 1)$  при  $N \rightarrow \infty$ . Такой же результат имеет место для “пилообразной” помехи  $e_n = (-1)^n$  (см. [5]).

Основной целью настоящей работы является исследование точности метода SSA для сигнала  $f_n = a_1^n + ca_2^n$  с простейшей постоянной помехой при условии  $a_1 > a_2 > 1$  и  $N \rightarrow \infty$ . Для этого понадобятся точные выражения (и их асимптотики) собственных чисел  $\mu_{\max}$  и  $\mu_{\min}$  матрицы  $\mathbf{H}\mathbf{H}^\mathbf{T}$ .

При отыскании этих собственных чисел будут использоваться следующие общие утверждения, доказательство которых можно найти в [6].

Пусть матрица  $\mathbf{G}$  размера  $L \times K$  ранга  $d < \min L, K$  представлена в виде

$$\mathbf{G} = \sum_{k=1}^d P_k Q_k^\mathbf{T}, \quad P_k \in \mathbb{R}^L, \quad Q_k \in \mathbb{R}^K,$$

где  $P_1, \dots, P_d$  (и  $Q_1, \dots, Q_d$ ) — линейно независимые вектора. Введем следующие обозначения.

- $\sigma_i = \|P_i\| \|Q_i\|$ . Не умаляя общности, будем считать, что  $\sigma_1 \geq \sigma_2 \geq \dots \geq \sigma_d$ .
- $X_i = P_i / \|P_i\|$ ,  $Y_i = Q_i / \|Q_i\|$ .
- $\mathbf{X} = [X_1, X_2, \dots, X_d]$ ,  $\mathbf{Y} = [Y_1, Y_2, \dots, Y_d]$ .
- $\lambda_{\max}$  — максимальное собственное число  $\mathbf{G}\mathbf{G}^\mathbf{T}$ .
- $\mathbf{U} = [P_1 : \dots : P_d]$ ,  $\mathbf{V} = [Q_1 : \dots : Q_d]$ .
- 

$$\Pi_{PQ} = \begin{pmatrix} \|P_1\| & \cdots & 0 \\ \vdots & \ddots & \vdots \\ 0 & \cdots & \|P_d\| \end{pmatrix} \begin{pmatrix} \|Q_1\| & \cdots & 0 \\ \vdots & \ddots & \vdots \\ 0 & \cdots & \|Q_d\| \end{pmatrix}.$$

- $\mathbf{C} = \mathbf{X}^T \mathbf{X} \Pi_{PQ} \mathbf{Y}^T \mathbf{Y} \Pi_{PQ}$ ,
- $\mathbf{C}' = \mathbf{U}^T \mathbf{U} \mathbf{V}^T \mathbf{V}$ .

**Лемма 1.1.1.** [6, лем. 2.1]

Если  $\lambda$  — положительное собственное число  $\mathbf{G}\mathbf{G}^T$  с собственным вектором  $Z$ , то

1.  $\lambda$  — собственное число  $\mathbf{C}$  с собственным вектором  $\mathbf{X}^T Z$ .
2.  $\lambda$  является собственным числом  $\mathbf{C}'$  с собственным вектором  $\mathbf{U}^T Z$ .

**Теорема 1.1.4.** [6, прор. 2.1]

Пусть вектора  $P_k, Q_k$  меняются так, что

$\mathbf{X}^T \mathbf{X} \rightarrow \mathbf{B}_1$ ,  $\mathbf{Y}^T \mathbf{Y} \rightarrow \mathbf{B}_2$ , где матрицы  $\mathbf{B}_1, \mathbf{B}_2$  обратимы.

1. Пусть  $\sigma_1 \rightarrow \infty$  и  $\sigma_j/\sigma_1 \rightarrow c_j$ . Обозначим

$$\Lambda_{\max} = \begin{pmatrix} 1 & 0 & \cdots & 0 \\ 0 & c_2 & \cdots & 0 \\ \vdots & \vdots & \ddots & \vdots \\ 0 & 0 & \cdots & c_d \end{pmatrix}.$$

Если матрица  $\mathbf{M}_1 = \mathbf{B}_1 \Lambda_{\max} \mathbf{B}_2 \Lambda_{\max}$  не нильпотентная, то  $\lambda_{\max}/\sigma_1^2 \rightarrow \theta > 0$ , где  $\theta_1$  — максимальное собственное число  $\mathbf{M}_1$ .

2. Пусть  $\sigma_d \rightarrow \infty$  и  $\sigma_d/\sigma_j \rightarrow d_j$ . Обозначим

$$\Lambda_{\min} = \begin{pmatrix} d_1 & 0 & \cdots & 0 \\ 0 & d_2 & \cdots & 0 \\ \vdots & \vdots & \ddots & \vdots \\ 0 & 0 & \cdots & 1 \end{pmatrix}.$$

Если матрица  $\mathbf{M}_2 = \Lambda_{\min} \mathbf{B}_2^{-1} \Lambda_{\min} \mathbf{B}_1^{-1}$  не нильпотенная, то  $\lambda_{\min}/\sigma_d^2 \rightarrow \theta_2 > 0$ , где  $1/\theta_2$  — максимальное собственное число  $\mathbf{M}_2$ .

## 1.2. Результаты работы

Как уже говорилось, в работе проводилось изучение метода SSA для частного случая сигнала  $f_n = a_1^n + ca_2^n$  и постоянной помехи  $e_n = 1$ . Приведем описание полученных результатов по разделам.



В главе 2 изучается асимптотика нормы  $\|\mathbf{B}(\delta)\|$ .

Условие  $\|\mathbf{B}(\delta)\| < \mu_{\min}/2$  при грубой оценке порождает неестественное ограничение  $a_1 < a_2^2$  на исследуемый сигнал, как, например, в предложении [1, ргор.3.3]. Первой целью работы является попытка ослабления этого условия с помощью нахождения точной асимптотики  $\|\mathbf{B}(\delta)\|/\mu_{\min}$ . В теореме 2.2.1 раздела 2.2 показано, что таким образом ослабить условие не удастся. Для получения этого результата понадобился анализ асимптотического поведения собственных чисел матрицы  $\mathbf{H}\mathbf{H}^T$ , что составляет содержание раздела 2.1. Эти асимптотики неоднократно используются и в дальнейших разделах.

Существует оценка нормы разности проекторов [1, ргор.3.3], полученная с помощью (1.1.4), которая при условиях  $a_1/a_2^2 < 1$  и  $L, K \rightarrow \infty$ , в рассматриваемом случае имеет вид

$$\limsup_N (LK)^{-1/2} (a_1/a_2^2)^{-N} \|\mathbf{P}_0^\perp(\delta) - \mathbf{P}_0^\perp\| \leq C|\delta|, \quad (1.2.1)$$

где  $C$  — некоторая константа. В теореме 3.1.1 раздела 3.1 доказана (в тех же условиях, что и (1.2.1)) более точная оценка сверху нормы разности проекторов, она имеет порядок  $\sqrt{L}a_2^{-N}$ . Эта теорема является одним из двух основных результатов главы 3.

Второй основной результат главы связан с асимптотикой нормы оператора  $\mathbf{V}_0^{(1)}$ , который определяет линейный (по параметру возмущения  $\delta$ ) член разложения (1.1.3). В разделе 3.2 (см. теорему 3.2.1) найден вид этой асимптотики, и, кроме того, показано, что  $\mathbf{V}_0^{(1)}$  является главным членом разности  $\mathbf{P}_0^\perp(\delta) - \mathbf{P}_0^\perp$  при дополнительном условии  $a_1 < a_2^{3/2}$ .

Последняя глава 4 работы посвящена ошибкам восстановления в методе Анализа Сингулярного Спектра. В разделе 4.1 описывается (следуя [1, Ch. 5. 3]) общая схема нахождения таких ошибок, а в разделе 4.2 исследуется ошибка восстановления последнего элемента сигнала. Оказывается (теорема 4.2.1), что эта ошибка, при дополнительном условии  $a_1 < a_2^{4/3}$ , имеет конечный предел  $r_\infty$ , который, вообще говоря, не совпадает с нулем. В этом случае, конечно, максимальная по модулю ошибка метода Анализа Сингулярного Спектра тоже не будет стремиться к нулю при длине ряда, стремящемся к бесконечности.

В Приложении помещены графические иллюстрации к доказанным результатам. Кроме того, графики, помещенные в разделы A.7 и A.8 (см. рисунки A.12, A.14 и A.15) позволяют высказать предположение, что условие  $a_1/a_2^2 < 1$ , при котором доказывались многие перечисленные результаты работы, является излишне сильным.

Наконец, из рис. [A.9](#), [A.10](#) в разделе [A.6](#) следует, что предельная ошибка  $r_\infty$  восстановления последнего элемента сигнала действительно, вообще говоря, не является нулевой.

## Глава 2

## Достаточное условие разложения Като

Как уже упоминалось, достаточным условием справедливости разложения Като (теорема 1.1.1) является выполнение неравенства  $\|\mathbf{B}(\delta)\|/\mu_{\min} < 1/2$ . Поскольку нас такое неравенство интересует для любых  $\delta$  при больших  $N$ , то возникает вопрос об асимптотическом поведении  $\|\mathbf{B}(\delta)\|/\mu_{\min}$  при  $N \rightarrow \infty$ .

Использование грубого неравенства

$$\|\mathbf{B}(\delta)\|/\mu_{\min} \leq |\delta| \|\mathbf{A}^{(1)}\| + \delta^2 \|\mathbf{A}^{(2)}\|$$

приводит (см. [1, глор 3.3]) к условию  $a_1/a_2^2 < 1$ , при невыполнении которого, малость отношения  $\|\mathbf{B}(\delta)\|/\mu_{\min}$  не может быть гарантирована при больших  $N$ .

Здесь будет представлено точное асимптотическое выражение  $\|\mathbf{B}(\delta)\|/\mu_{\min}$  и будет показано, что условие  $a_1/a_2^2 < 1$  при больших  $N$  ослабить нельзя.

2.1. Асимптотика  $\mu_{\min}$  и  $\mu_{\max}$ 

Пусть  $\mu_{\min}$  и  $\mu_{\max}$  — минимальное и максимальное положительные собственные числа матрицы  $\mathbf{H}\mathbf{H}^T$ . Найдем их явные выражения, а также асимптотики при  $N \rightarrow \infty$ .

Обозначим при  $j = 1, 2$  и  $i \geq 1$

$$A_{ij} = (1, a_j, a_j^2, \dots, a_j^{i-1})^T. \quad (2.1.1)$$

**Лемма 2.1.1.** Пусть  $\mathbf{U} = [A_{L1} : A_{L2}]$ ,  $\mathbf{V} = [A_{K1} : cA_{K2}]$ ,  $\mathbf{C}' = \mathbf{U}^T \mathbf{U} \mathbf{V}^T \mathbf{V}$ , где

$$\mathbf{U}^T \mathbf{U} = \begin{pmatrix} u_{11} & u_{12} \\ u_{12} & u_{22} \end{pmatrix}, \quad \mathbf{V}^T \mathbf{V} = \begin{pmatrix} v_{11} & v_{12} \\ v_{12} & v_{22} \end{pmatrix},$$

с

$$\begin{aligned} u_{11} &= A_{L1}^T A_{L1}, & u_{12} &= A_{L1}^T A_{L2}, & u_{22} &= A_{L2}^T A_{L2}, \\ v_{11} &= A_{K1}^T A_{K1}, & v_{12} &= c A_{K1}^T A_{K2}, & v_{22} &= c^2 A_{K2}^T A_{K2}. \end{aligned}$$

Кроме того, положим

$$c_{11} = u_{11}v_{11} + u_{12}v_{12}, \quad c_{12} = u_{11}v_{12} + u_{12}v_{22},$$

$$c_{21} = u_{12}v_{11} + u_{22}v_{12}, \quad c_{22} = u_{12}v_{12} + u_{22}v_{22}.$$

Тогда

$$\mu_{\max} = \frac{1}{2} \left( c_{11} + c_{22} + \sqrt{c_{11}^2 - 2c_{11}c_{22} + 4c_{12}c_{21} + c_{22}^2} \right). \quad (2.1.2)$$

и

$$\mu_{\min} = \frac{1}{2} \left( c_{11} + c_{22} - \sqrt{c_{11}^2 - 2c_{11}c_{22} + 4c_{12}c_{21} + c_{22}^2} \right).$$

*Доказательство.* Пусть

$$\mathbf{C}' = \begin{pmatrix} c_{11} & c_{12} \\ c_{21} & c_{22} \end{pmatrix}.$$

Согласно лемме 1.1.1, положительные собственные числа матриц  $\mathbf{C}'$  и  $\mathbf{H}\mathbf{H}^T$  совпадают. Явный вид собственных чисел получается непосредственно решением характеристического уравнения с матрицей  $\mathbf{C}'$ .  $\square$

**Замечание 2.1.1.** Заметим, что, так как  $1 < a_2 < a_1$ , то при  $L, K \rightarrow \infty$ ,

$$\begin{aligned} c_{11} &\sim \frac{a_1^{2N+2}}{(a_1^2 - 1)^2} + c \frac{(a_1 a_2)^{2N+2}}{(a_1 a_2 - 1)^2} \sim \frac{a_1^2}{(a_1^2 - 1)^2} a_1^{2N}, \\ c_{12} &\sim \frac{c a_1^{2L+K} a_2^K}{(a_1^2 - 1)(a_1 a_2 - 1)} + \frac{c^2 a_1^L a_2^{2L+K}}{(a_1 a_2 - 1)(a_2^2 - 1)} \sim \frac{c a_1}{(a_1^2 - 1)(a_1 a_2 - 1)} a_1^{N+L} a_2^K, \\ c_{21} &\sim \frac{a_1^{L+2K} a_2^L}{(a_1 a_2 - 1)(a_1^2 - 1)} + \frac{c a_1^K a_2^{2L+K}}{(a_2^2 - 1)(a_1 a_2 - 1)} \sim \frac{a_1}{(a_1 a_2 - 1)(a_1^2 - 1)} a_1^{N+K} a_2^L, \\ c_{22} &\sim \frac{c(a_1 a_2)^{N+2}}{(a_1 a_2 - 1)^2} + \frac{c^2 a_2^{2N+2}}{(a_2^2 - 1)^2} \sim \frac{c(a_1 a_2)^2}{(a_1 a_2 - 1)^2} (a_1 a_2)^N. \end{aligned}$$

Теперь перейдем к асимптотикам собственных чисел. Положим

$$\begin{aligned} x_M = \cos(A_{M1}, A_{M2}) &= \frac{(a_1 a_2)^M - 1}{a_1 a_2 - 1} \sqrt{\frac{(a_1^2 - 1)(a_2^2 - 1)}{(a_1^{2M} - 1)(a_2^{2M} - 1)}} \quad \text{и} \\ x &= \lim_{M \rightarrow \infty} x_M = \frac{\sqrt{(a_1^2 - 1)(a_2^2 - 1)}}{a_1 a_2 - 1}. \end{aligned} \quad (2.1.3)$$

**Предложение 2.1.1.** Если  $L, K \rightarrow \infty$ , то

$$\mu_{\max} \sim \frac{a_1^2}{(a_1^2 - 1)^2} a_1^{2N} \quad \text{и} \quad \mu_{\min} \sim c^2 \frac{a_2^2(1 - x^2)^2}{(a_2^2 - 1)^2} a_2^{2N}. \quad (2.1.4)$$

*Доказательство.* Воспользуемся теоремой 1.1.4. В обозначениях этой теоремы

$$\begin{aligned} \mathbf{X} &= [A_{L1}/\|A_{L1}\| : A_{L2}/\|A_{L2}\|], \quad \mathbf{Y} = [A_{K1}/\|A_{K1}\| : A_{K2}/\|A_{K2}\|], \\ \sigma_1 &= \sqrt{(a_1^{2L} - 1)(a_1^{2K} - 1)/(a_1^2 - 1)}, \quad \sigma_2 = c \sqrt{(a_2^{2L} - 1)(a_2^{2K} - 1)/(a_2^2 - 1)}. \end{aligned} \quad (2.1.5)$$

Нетрудно видеть, что

$$\mathbf{X}^T \mathbf{X} = \begin{pmatrix} 1 & x_L \\ x_L & 1 \end{pmatrix} \rightarrow \mathbf{B}_1 = \begin{pmatrix} 1 & x \\ x & 1 \end{pmatrix}.$$

Аналогично

$$\mathbf{Y}^T \mathbf{Y} = \begin{pmatrix} 1 & x_K \\ x_K & 1 \end{pmatrix} \rightarrow \mathbf{B}_2 = \mathbf{B}_1.$$

Сначала найдем асимптотику  $\mu_{\max}$ .

$$\Lambda_{\max} = \begin{pmatrix} 1 & 0 \\ 0 & 0 \end{pmatrix}, \quad \text{поэтому} \quad \mathbf{M}_1 = \mathbf{B}_1 \Lambda_{\max} \mathbf{B}_2 \Lambda_{\max} = \begin{pmatrix} 1 & 0 \\ x & 0 \end{pmatrix}.$$

Матрица  $\mathbf{M}_1$  не нильпотентна, так как  $\mathbf{M}_1^2 = \mathbf{M}_1$ , а её максимальное собственное число  $\theta_1 = 1$ , таким образом  $\mu_{\max} \sim \sigma_1^2$  ( $\sigma_1$  и  $\sigma_2$  определены в (2.1.5)).

Теперь найдем  $\mu_{\min}$ .

$$\Lambda_{\min} = \begin{pmatrix} 0 & 0 \\ 0 & 1 \end{pmatrix}, \quad \mathbf{B}_1^{-1} = \frac{1}{1-x^2} \begin{pmatrix} 1 & -x \\ -x & 1 \end{pmatrix}, \quad \mathbf{B}_2^{-1} = \frac{1}{1-x^2} \begin{pmatrix} 1 & -x \\ -x & 1 \end{pmatrix},$$

поэтому

$$\mathbf{M}_2 = \Lambda_{\min} \mathbf{B}_2^{-1} \Lambda_{\min} \mathbf{B}_1^{-1} = \frac{1}{(1-x^2)(1-x^2)} \begin{pmatrix} 0 & 0 \\ -x & 1 \end{pmatrix}.$$

Матрица  $\mathbf{M}_2$  также не нильпотентна, а её максимальное собственное число имеет вид  $\theta_2 = 1/(1-x^2)^2$ . Поэтому  $\mu_{\min} \sim \sigma_2^2(1-x^2)^2$ .  $\square$

**Замечание 2.1.2.** Аналогичным образом можно показать, что

$$\mu_{\max} \sim \begin{cases} \frac{(a_1^{2L_0} - 1)}{(a_1^2 - 1)^2} a_1^{2K} & \text{при } L = L_0, K \rightarrow \infty, \\ \frac{(a_1^{2K_0} - 1)}{(a_1^2 - 1)^2} a_1^{2L} & \text{при } K = K_0, L \rightarrow \infty \end{cases}$$

и

$$\mu_{\min} \sim \begin{cases} c^2 \frac{(a_2^{2L_0} - 1)(1 - x_{L_0}^2)(1 - x^2)}{(a_2^2 - 1)^2} a_2^{2K} & \text{при } L = L_0, K \rightarrow \infty, \\ c^2 \frac{(a_2^{2K_0} - 1)(1 - x^2)(1 - x_{K_0}^2)}{(a_2^2 - 1)^2} a_2^{2L} & \text{при } K = K_0, L \rightarrow \infty. \end{cases}$$

## 2.2. Асимптотика $\mathbf{B}(\delta)/\mu_{\min}$

**Лемма 2.2.1.** *Матрица*

$$\mathbf{B}(\delta) = \delta(\mathbf{H}\mathbf{E}^T + \mathbf{E}\mathbf{H}^T) + \delta^2\mathbf{E}\mathbf{E}^T \quad (2.2.1)$$

представима в виде  $\mathbf{B}(\delta) = P_1Q_1^T + P_2Q_2^T$ , где вектора  $P_1, P_2$  и  $Q_1, Q_2$  линейно независимы.

*Доказательство.* Заметим, что  $\mathbf{E} = E_L E_K^T$  и  $\mathbf{H} = A_{L1}A_{K1}^T + cA_{L2}A_{K2}^T$ , где  $A_{ij}$  определено в (2.1.1). Отметим также, что  $\mathbf{E}\mathbf{E}^T = KE_L E_L^T$ , где  $E_i = (1, \dots, 1)^T \in \mathbb{R}^i$ . Далее,

$$\mathbf{H}\mathbf{E}^T = A_{L1}A_{K1}^T E_K E_L^T + cA_{L2}A_{K2}^T E_K E_L^T = (s_{K1}A_{L1} + c s_{K2}A_{L2})E_L^T, \quad (2.2.2)$$

где

$$s_{Ki} = A_{Ki}^T E_K = \sum_{j=0}^{K-1} a_i^j = (a_i^K - 1)/(a_i - 1). \quad (2.2.3)$$

Аналогично

$$\mathbf{E}\mathbf{H}^T = E_L(s_{K1}A_{L1}^T + c s_{K2}A_{L2}^T). \quad (2.2.4)$$

Подставляя получившиеся выражения в правую часть (2.2.1), получаем, что

$$\begin{aligned} \mathbf{B}(\delta) &= \delta(s_{K1}A_{L1} + c s_{K2}A_{L2} + \delta KE_L)E_L^T + \delta E_L(s_{K1}A_{L1}^T + c s_{K2}A_{L2}^T) = \\ &= P_1Q_1^T + P_2Q_2^T, \end{aligned} \quad (2.2.5)$$

где

$$Q_1 = P_2 = E_L, \quad P_1 = \delta(s_{K1}A_{L1} + c s_{K2}A_{L2} + \delta KE_L), \quad Q_2 = \delta(s_{K1}A_{L1} + c s_{K2}A_{L2}). \quad (2.2.6)$$

Векторы  $P_1, P_2$  и  $Q_1, Q_2$  линейно независимы, так как они не коллинеарны.  $\square$

Ясно, что  $\|Q_1\| = \|P_2\| = \sqrt{L}$ . Кроме того, так как  $a_1 > a_2$ , то при  $L, K \rightarrow \infty$

$$\|Q_2\| = |\delta| \sqrt{\sum_{i=0}^{L-1} (s_{K1}a_1^i + c s_{K2}a_2^i)^2} \sim |\delta| \frac{a_1^K - 1}{a_1 - 1} \sqrt{\frac{a_1^{2L} - 1}{a_1^2 - 1}} \sim |\delta| \frac{a_1}{(a_1 - 1)\sqrt{a_1^2 - 1}} a_1^N; \quad (2.2.7)$$

$$\|P_1\| = |\delta| \sqrt{\sum_{i=0}^{L-1} (s_{K1}a_1^i + c s_{K2}a_2^i + K\delta)^2} \sim \|Q_2\| \sim |\delta| \frac{a_1}{(a_1 - 1)\sqrt{a_1^2 - 1}} a_1^N,$$

$$Q_1^T Q_2 = \delta \left( s_{K1} \frac{a_1^L - 1}{a_1 - 1} + s_{K2} \frac{a_2^L - 1}{a_2 - 1} \right) \sim \frac{\delta a_1}{(a_1 - 1)^2} a_1^N \quad (2.2.8)$$

и

$$P_1^T P_2 = Q_1^T Q_2 + \delta^2 KL \sim Q_1^T Q_2.$$

**Теорема 2.2.1.** При  $L, K \rightarrow \infty$  верна асимптотика

$$\|\mathbf{B}(\delta)\|/\mu_{\min} \sim |\delta| \beta_1 (a_1/a_2)^N \sqrt{L}, \quad (2.2.9)$$

где

$$\beta_1 = \frac{a_1(a_2^2 - 1)^2}{a_2^2 c^2 (1 - x^2)^2 (a_1 - 1) \sqrt{a_1^2 - 1}}, \quad (2.2.10)$$

а  $x$  определено в (2.1.3).

*Доказательство.* Учитывая разложение (2.2.5), (2.2.6), применим теорему 1.1.4 с  $\mathbf{B}(\delta) = \mathbf{G}$ . Для этого рассмотрим матрицу  $\mathbf{Y}^T \mathbf{Y} = \{b_{ij}\}_{i,j=1}^2$ , где  $b_{ii} = 1$ , а в нашем случае (см. (2.2.7) и (2.2.8))

$$b_{12} = b_{21} = \frac{1}{\|Q_1\| \|Q_2\|} Q_1^T Q_2 \sim \frac{\text{sign}(\delta)}{\sqrt{L}} \sqrt{\frac{a_1 + 1}{a_1 - 1}}.$$

В результате получаем, что последовательность матриц  $\mathbf{Y}^T \mathbf{Y}$  сходится к единичной матрице. Такой же предел имеет последовательность матриц  $\mathbf{X}^T \mathbf{X}$ , поскольку

$$\|P_1\| \sim \|Q_2\|, \|P_2\| = \|Q_1\| \text{ и } Q_1^T Q_2 \sim P_1^T P_2. \quad (2.2.11)$$

Далее, из (2.2.11) видим, что

$$\sigma_1 = \|P_1 Q_1\| \sim \sigma_2 = \|P_2 Q_2\| \sim |\delta| \sqrt{L} \frac{a_1}{(a_1 - 1) \sqrt{a_1^2 - 1}} a_1^N, \quad (2.2.12)$$

поэтому матрица  $\Lambda_{\max}$  единичная. Значит, матрица  $\mathbf{M}_1$  тоже единичная.

Следовательно, согласно утверждению теоремы 1.1.4, максимальное собственное число  $\lambda_{\max}$  матрицы  $\mathbf{B}(\delta) \mathbf{B}(\delta)^T$  эквивалентно  $\sigma_1^2$ . Отсюда, учитывая (2.1.4) и (2.2.12), получаем требуемое.  $\square$

**Замечание 2.2.1.** Если  $L = L_0$  или  $K = K_0$ , то (2.2.9) также имеет место, но коэффициент  $\beta_1$  вместо (2.2.10) принимает другие значения.

**Замечание 2.2.2.** Результат теоремы 2.2.1 показывает, что в рамках теоремы 1.1.1 для рассматриваемой задачи условие  $a_1/a_2^2 < 1$  при  $L, K \rightarrow \infty$  ослабить нельзя.

## Глава 3

## О скорости сходимости $\|\mathbf{P}_0^\perp(\delta) - \mathbf{P}_0^\perp\|$ и асимптотике $\|\mathbf{V}_0^{(1)}\|$

Из результата [1, ргор.3.3], в частности, следует, что для рассматриваемых сигнала и помехи, при  $a_1 < a^2$  и  $L, K \rightarrow \infty$ ,

$$\limsup_N (LK)^{-1/2} (a_1/a_2^2)^{-N} \|\mathbf{P}_0^\perp(\delta) - \mathbf{P}_0^\perp\| \leq C|\delta|, \quad (3.0.1)$$

где  $C$  — некоторая абсолютная постоянная. В этом разделе оценка скорости сходимости к нулю нормы  $\|\mathbf{P}_0^\perp(\delta) - \mathbf{P}_0^\perp\|$  будет уточнена.

Кроме того, будет найдено асимптотическое поведение нормы оператора  $\mathbf{V}_0^{(1)}$ .

### 3.1. Оценка теоремы 1.1.2

Если  $a_1/a_2^2 < 1$ , то в правой части неравенства (1.1.4) за скорость сходимости нормы разности проекторов при  $L, K \rightarrow \infty$  отвечает числитель  $\|\mathbf{S}_0 \mathbf{B}(\delta) \mathbf{P}_0\|$ . Найдем его асимптотику. (Заметим, что неравенство (3.0.1) получено в [1, ргор.3.3] путем грубой оценки этой нормы).

Сначала нам понадобятся операторы проектирования на подпространства ненулевых собственных векторов  $\mathbf{H}\mathbf{H}^\mathbf{T}$ , поскольку  $\mathbf{S}_0 = \sum_{\mu>0} \mathbf{P}_\mu/\mu$ , где  $\mathbf{P}_\mu$  — оператор проектирования на собственное подпространство собственного числа  $\mu$ , а суммирование идет по всем положительным собственным числам  $\mathbf{H}\mathbf{H}^\mathbf{T}$ . В нашем случае

$$\mathbf{S}_0 = \mathbf{P}_{\mu_{\max}}/\mu_{\max} + \mathbf{P}_{\mu_{\min}}/\mu_{\min}, \quad (3.1.1)$$

так как, во-первых,  $\text{rank } \mathbf{H}\mathbf{H}^\mathbf{T} = 2$ , во-вторых, согласно предложению 2.1.1 при достаточно больших  $N$  два положительных собственных числа различны.

Известно, что если  $\mu$  — собственное число кратности 1, то  $\mathbf{P}_\mu = \mathbf{U}\mathbf{U}^\mathbf{T}$  где  $\mathbf{U}$  — нормированный на 1 собственный вектор с собственным числом  $\mu$ .

Чтобы найти  $\mathbf{U}$ , соответствующий какому-нибудь положительному собственному числу, представим  $\mathbf{H}\mathbf{H}^\mathbf{T}$  в виде  $\mathbf{H}\mathbf{H}^\mathbf{T} = \mathbf{X}_1\mathbf{Y}_1^\mathbf{T} + \mathbf{X}_2\mathbf{Y}_2^\mathbf{T}$ :

$$\mathbf{H}\mathbf{H}^\mathbf{T} = (A_{L1}A_{K1}^\mathbf{T} + cA_{L2}A_{K2}^\mathbf{T})(A_{L1}A_{K1}^\mathbf{T} + cA_{L2}A_{K2}^\mathbf{T})^\mathbf{T} =$$



$$\begin{aligned}
&= A_{L1}(A_{K1}^T A_{K1} A_{L1}^T + c A_{K1}^T A_{K2} A_{L2}^T) + A_{L2}(c A_{K2}^T A_{K1} A_{L1}^T + c^2 A_{K2}^T A_{K2} A_{L2}^T) = \\
&= X_1 Y_1^T + X_2 Y_2^T,
\end{aligned} \tag{3.1.2}$$

где  $X_1 = A_{L1}$ ,  $X_2 = A_{L2}$  (вектора  $A_{ij}$  определены в (2.1.1))

$$Y_1 = A_{K1}^T A_{K1} A_{L1} + c A_{K1}^T A_{K2} A_{L2} \quad \text{и} \quad Y_2 = c A_{K2}^T A_{K1} A_{L1} + c^2 A_{K2}^T A_{K2} A_{L2}.$$

При  $L, K \rightarrow \infty$

$$\begin{aligned}
\|X_1\| &= \sqrt{\frac{a_1^{2L} - 1}{a_1^2 - 1}} \sim \frac{a_1^L}{\sqrt{a_1^2 - 1}}, \quad \|X_2\| = \sqrt{\frac{a_2^{2L} - 1}{a_2^2 - 1}} \sim \frac{a_2^L}{\sqrt{a_2^2 - 1}}, \\
\|Y_1\| &\sim \frac{a_1^{2K+L}}{(a_1^2 - 1)^{3/2}} \quad \text{и} \quad \|Y_2\| \sim |c| \frac{a_1^{K+L} a_2^L}{(a_1 a_2 - 1) \sqrt{a_1^2 - 1}}.
\end{aligned}$$

Пусть  $U_1$  — собственный вектор с собственным числом  $\mu_1 = \mu_{\min}$ , а  $U_2$  — собственный вектор с собственным числом  $\mu_2 = \mu_{\max}$ .

Так как вектора  $X_1, X_2$  (как и  $Y_1, Y_2$ ) линейно независимы, то собственные вектора  $U_i$  являются линейной комбинацией  $X_1, X_2$ .

Поскольку  $X_1$  не является собственным вектором матрицы  $\mathbf{H}\mathbf{H}^T$ , то нормированные собственные вектора этой матрицы имеют вид

$$U_i = (\alpha_i X_1 + X_2) / \|\alpha_i X_1 + X_2\|, \quad i = 1, 2. \tag{3.1.3}$$

Теперь найдем числа  $\alpha_i$ .

**Лемма 3.1.1.** *При  $i = 1, 2$  имеют место равенства*

$$\alpha_i = \frac{\mu_i - b_{12} - b_{22}}{b_{11} + b_{21} - \mu_i}, \tag{3.1.4}$$

где  $\mu_1 = \mu_{\min}$ ,  $\mu_2 = \mu_{\max}$ ,  $b_{11} = Y_1^T X_1$ ,  $b_{12} = Y_1^T X_2$ ,  $b_{21} = Y_2^T X_1$  и  $b_{22} = Y_2^T X_2$ .

*Доказательство.* Поскольку

$$\mathbf{H}\mathbf{H}^T(\alpha_i X_1 + X_2) = (X_1 Y_1^T + X_2 Y_2^T)(\alpha_i X_1 + X_2),$$

то  $\alpha_i$  удовлетворяет системе

$$(X_1 Y_1^T + X_2 Y_2^T)(\alpha_i X_1 + X_2) = \mu_i (\alpha_i X_1 + X_2),$$

что переписывается в виде

$$\alpha_i (b_{11} X_1 + b_{21} X_2 - \mu_i X_1) = \mu_i X_2 - b_{12} X_1 - b_{22} X_2. \tag{3.1.5}$$

Чтобы найти  $\alpha_i$ , достаточно рассмотреть первые компоненты векторов в обеих частях (3.1.5). Поскольку первые компоненты  $X_i$  равны 1, то

$$\alpha_i (b_{11} + b_{21} - \mu_i) = \mu_i - b_{12} - b_{22}.$$

Отсюда получаем (3.1.4). □

**Замечание 3.1.1.** При доказательстве леммы 3.1.1 пропущена проверка того, что знаменатель выражения (3.1.4) отличен от нуля. При достаточно больших  $L, K$  это будет следовать из последующих утверждений отдельно для  $\mu_{\min}$  и  $\mu_{\max}$ .

Найдем теперь асимптотические выражения для  $\alpha_1$  и  $\alpha_2$  при  $L, K \rightarrow \infty$ . Прежде всего отметим, что при этом условии

$$\begin{aligned} b_{11} &\sim \frac{a_1^2}{(a_1^2 - 1)^2} a_1^{2N}, & b_{12} &\sim \frac{a_1}{(a_1^2 - 1)(a_1 a_2 - 1)} a_1^{N+K} a_2^L, \\ b_{21} &\sim c \frac{a_1}{(a_1^2 - 1)(a_1 a_2 - 1)} a_1^{N+L} a_2^K, & b_{22} &\sim c \frac{a_1 a_2}{(a_1 a_2 - 1)^2} (a_1 a_2)^N. \end{aligned} \quad (3.1.6)$$

**Предложение 3.1.1.** При  $L, K \rightarrow \infty$ , для  $\alpha_1$  и  $\alpha_2$  имеют место асимптотики

$$\alpha_1 \sim -\frac{a_1^2 - 1}{a_1 a_2 - 1} \left(\frac{a_2}{a_1}\right)^L \quad u \quad (3.1.7)$$

$$\alpha_2 \sim \frac{a_1 a_2 - 1}{c(a_1^2 - 1)} \left(\frac{a_1}{a_2}\right)^K. \quad (3.1.8)$$

*Доказательство.* Асимптотика в правой части (3.1.7) имеет место, так как числитель в (3.1.4) эквивалентен  $-b_{12}$ , а знаменатель  $-b_{11}$ .

Доказательство (3.1.8) проходит немного сложнее, так как (учитывая результаты предложения 2.1.1) в знаменателе формулы (3.1.4) при  $i = 2$  слагаемые  $b_{11}$  и  $\mu_{\max}$  эквивалентны, а  $b_{21}$  имеет меньший порядок.

Заметим, что  $b_{11} = c_{11}$ , поэтому (см. формулу (2.1.2))

$$b_{11} - \mu_{\max} = \frac{1}{2} \left( c_{11} - \sqrt{c_{11}^2 - 2c_{11}c_{22} + 4c_{12}c_{21} + c_{22}^2} - c_{22} \right).$$

Нетрудно проверить (см. замечание 2.1.1), что  $-2c_{11}c_{22} + 4c_{12}c_{21} + c_{22}^2 = o(c_{11}^2)$  при  $L, K \rightarrow \infty$ .

Воспользуемся тем, что для любых последовательностей  $f(n), g(n)$  удовлетворяющих условиям  $f(n) \rightarrow \infty$  и  $g(n) = o(f^2(n))$  имеет место соотношение

$$f(n) - \sqrt{f^2(n) + g(n)} \sim -0.5 g(n)/f(n).$$

В нашем случае  $f(n) = c_{11} - c_{22}$ , а  $g(n) = 4c_{12}c_{21}$ . Значит

$$b_{11} - \mu_{\max} \sim -\frac{4c_{12}c_{21}}{4(c_{11} - c_{22})} \sim -c_{12}c_{21}/c_{11} \sim -c \frac{a_1 a_2}{(a_1 a_2 - 1)^2} (a_1 a_2)^N.$$

Ввиду уже полученной асимптотики (3.1.6) для  $b_{21}$ , при  $L, K \rightarrow \infty$ ,

$$b_{11} + b_{21} - \mu_{\max} \sim b_{21} \sim c \frac{a_1}{(a_1^2 - 1)(a_1 a_2 - 1)} a_1^{N+L} a_2^K.$$

Теперь найдем асимптотику числителя (3.1.4):

$$\mu_{\max} - b_{12} - b_{22} \sim \mu_{\max} \sim \frac{a_1^2}{(a_1^2 - 1)^2} a_1^{2N}.$$

Итого, учитывая асимптотики числителя и знаменателя (3.1.4), получаем точную асимптотику (3.1.8) величины  $\alpha_2$ .  $\square$

**Замечание 3.1.2.** 1. На самом деле асимптотика (3.1.7) справедлива при  $L \rightarrow \infty$  и любом поведении  $K$ . При  $L = L_0 = \text{const}$ ,

$$\alpha_1 \rightarrow -\frac{(a_1^{L_0} a_2^{L_0} - 1)(a_1^2 - 1)}{(a_1^{2L_0} - 1)(a_1 a_2 - 1)}.$$

2. При  $K \rightarrow \infty$  и  $L = L_0$ , если  $L_0$  достаточно велико, то

$$\alpha_2 \sim \frac{a_1 a_2 - 1}{c(a_1^2 - 1)} \left(\frac{a_1}{a_2}\right)^K = \frac{a_1 a_2 - 1}{c(a_1^2 - 1)} \left(\frac{a_1}{a_2}\right)^K.$$

3. При  $L \rightarrow \infty$ ,  $K = K_0$ ,

$$\alpha_2 \sim \frac{(a_1^{2K_0} - 1)(a_1 a_2 - 1)}{c(a_1^2 - 1)(a_1^{K_0} a_2^{K_0} - 1)} = c_{\alpha_2}^{K_0}.$$

Таким образом, поведение коэффициентов  $\alpha_1$  и  $\alpha_2$  при  $L, K \rightarrow \infty$  описано. Опишем теперь асимптотическое поведение норм

$$m_i \stackrel{\text{def}}{=} \|\alpha_i X_1 + X_2\| = \sqrt{\sum_{k=0}^{L-1} (\alpha_i a_1^k + a_2^k)^2}, \quad i = 1, 2. \quad (3.1.9)$$

**Лемма 3.1.2.** Для величин  $m_i$ , определенных в (3.1.9), при  $L, K \rightarrow \infty$  верны асимптотики:

$$m_1 \sim c_{m_1} a_2^L, \quad m_2 \sim c_{m_2} \frac{a_1^{L+K}}{a_2^K}, \quad (3.1.10)$$

где

$$c_{m_1} = \sqrt{\frac{1}{a_2^2 - 1} - \frac{a_1^2 - 1}{(a_1 a_2 - 1)^2}} \quad \text{и} \quad c_{m_2} = \frac{a_1 a_2 - 1}{|c|(a_1^2 - 1)^{3/2}}. \quad (3.1.11)$$

*Доказательство.* Асимптотики проверяются непосредственно с помощью результатов предложения 3.1.1.  $\square$

**Замечание 3.1.3.** В случаях  $L = L_0$  или  $K = K_0$  величины  $m_i$  имеют тот же порядок, что и в лемме 3.1.2, только с другими коэффициентами  $c_{m_i}$ .

В дальнейших доказательствах нам понадобятся следующие асимптотики.

**Лемма 3.1.3.** При  $a_1 > a_2 > 1$  и  $c \neq 0$ ,

$$\alpha_1 A_{L_1}^T A_{L_1} + A_{L_1}^T A_{L_2} \sim -c \frac{(a_1 - a_2)^2 (a_1^2 - 1) a_2^{2L+K}}{(a_1 a_2 - 1)^3 (a_2^2 - 1) a_1^K}. \quad (3.1.12)$$

*Доказательство.* Учитывая (3.1.7), нетрудно видеть, что

$$A_{L_1}^T A_{L_2} \sim -\alpha_1 A_{L_1}^T A_{L_1} \sim \frac{a_1^L a_2^L}{a_1 a_2 - 1}.$$

То есть возникает необходимость рассматривать меньшие по порядку слагаемые. Поэтому вернемся к общему виду  $\alpha_1$  (3.1.4):

$$\alpha_1 A_{L_1}^T A_{L_1} + A_{L_1}^T A_{L_2} = \frac{a_1^L a_2^L - 1}{a_1 a_2 - 1} + \frac{a_1^{2L} - 1}{a_1^2 - 1} \frac{\mu_{\min} - b_{12} - b_{22}}{b_{11} + b_{21} - \mu_{\min}}. \quad (3.1.13)$$

Обозначим  $z_{ij}^{(k)} = A_{ki}^T A_{kj} \sim (a_i^k a_j^k - 1)/(a_i a_j - 1)$ , тогда

$$\begin{aligned} b_{11} &= Y_1^T X_1 = z_{11}^{(K)} z_{11}^{(L)} + c z_{12}^{(K)} z_{12}^{(L)}, & b_{12} &= Y_1^T X_2 = z_{11}^{(K)} z_{12}^{(L)} + c z_{12}^{(K)} z_{22}^{(L)} \\ b_{21} &= Y_2^T X_1 = c z_{12}^{(K)} z_{11}^{(L)} + c^2 z_{22}^{(K)} z_{12}^{(L)}, & b_{22} &= Y_2^T X_2 = c z_{12}^{(K)} z_{12}^{(L)} + c^2 z_{22}^{(K)} z_{22}^{(L)}. \end{aligned}$$

Учитывая асимптотику (2.1.4) для  $\mu_{\min}$  и (3.1.13), получаем

$$\alpha_1 A_{L_1}^T A_{L_1} + A_{L_1}^T A_{L_2} = \frac{S_1 + S_2}{T}, \quad (3.1.14)$$

где

$$\begin{aligned} T &= (a_1^2 - 1)(a_1 a_2 - 1)(z_{11}^{(K)} z_{11}^{(L)} + c z_{12}^{(K)} z_{12}^{(L)} + c z_{12}^{(K)} z_{11}^{(L)} + c^2 z_{22}^{(K)} z_{12}^{(L)} - O(a_2^{2N})), \\ S_1 &= (a_1 a_2 - 1)(a_1^{2L} - 1)(O(a_2^{2N}) - z_{11}^{(K)} z_{12}^{(L)} - c z_{12}^{(K)} z_{22}^{(L)} - c z_{12}^{(K)} z_{12}^{(L)} - c^2 z_{22}^{(K)} z_{22}^{(L)}), \\ S_2 &= (a_1^2 - 1)(a_1^L a_2^L - 1)(z_{11}^{(K)} z_{11}^{(L)} + c z_{12}^{(K)} z_{12}^{(L)} + c z_{12}^{(K)} z_{11}^{(L)} + c^2 z_{22}^{(K)} z_{12}^{(L)} - O(a_2^{2N})). \end{aligned}$$

Как нетрудно видеть,

$$T \sim (a_1^2 - 1)(a_1 a_2 - 1) z_{11}^{(K)} z_{11}^{(L)} \sim \frac{a_1 a_2 - 1}{a_1^2 - 1} a_1^{2L+2K}.$$

Сгруппируем слагаемые в сумме  $S_1 + S_2$ :

$$\begin{aligned}
& -(a_1^{2L} - 1)(a_1 a_2 - 1) z_{11}^{(K)} z_{12}^{(L)} + (a_1^L a_2^L - 1)(a_1^2 - 1) z_{11}^{(K)} z_{11}^{(L)} = O(a_1^{2L}); \\
& -(a_1^{2L} - 1)(a_1 a_2 - 1) c z_{12}^{(K)} z_{12}^{(L)} + (a_1^L a_2^L - 1)(a_1^2 - 1) c z_{12}^{(K)} z_{11}^{(L)} = O(a_1^{2L}); \\
& -(a_1^{2L} - 1)(a_1 a_2 - 1) c z_{12}^{(K)} z_{22}^{(L)} + (a_1^L a_2^L - 1)(a_1^2 - 1) c z_{12}^{(K)} z_{12}^{(L)} = \\
& \quad = -c \frac{(a_1 - a_2)^2}{(a_1 a_2 - 1)^2 (a_2^2 - 1)} a_1^{2L+K} a_2^{2L+K} + O(a_1^{2L}); \\
& (a_1^{2L} - 1)(a_1 a_2 - 1) (O(a_2^{2N}) - c^2 z_{22}^{(K)} z_{22}^{(L)}) + (a_1^L a_2^L - 1)(a_1^2 - 1) (c^2 z_{22}^{(K)} z_{12}^{(L)} - O(a_2^{2N})) = \\
& \quad = O(a_1^{2L} a_2^{2N}).
\end{aligned}$$

Выделяя главные части в числителе и знаменателе (3.1.14), получаем требуемое.  $\square$

**Следствие 3.1.1.** Пусть  $s_{Ki} = (a_i^K - 1)/(a_i - 1)$ , тогда при  $a_1 > a_2 > 1$  и  $c \neq 0$ ,

$$\begin{aligned}
& s_{K1}(\alpha_1 A_{L1}^T A_{L1} + A_{L1}^T A_{L2}) + c s_{K2}(\alpha_1 A_{L1}^T A_{L2} + A_{L2}^T A_{L2}) \sim \\
& \sim c a_2^{2L+K} \left( \frac{(a_1 - a_2)^3}{(a_1 a_2 - 1)^3 (a_2^2 - 1)(a_2 - 1)} \right). \tag{3.1.15}
\end{aligned}$$

*Доказательство.* Найдем асимптотику  $\alpha_1 A_{L1}^T A_{L2} + A_{L2}^T A_{L2}$ :

$$\begin{aligned}
& \alpha_1 A_{L1}^T A_{L2} + A_{L2}^T A_{L2} \sim -\frac{a_1^2 - 1}{a_1 a_2 - 1} \left( \frac{a_2}{a_1} \right)^L \frac{a_1^L a_2^L}{a_1 a_2 - 1} + \frac{a_2^{2L}}{a_2^2 - 1} = \\
& = a_2^{2L} \left( \frac{1}{a_2^2 - 1} - \frac{a_1^2 - 1}{(a_1 a_2 - 1)^2} \right) = a_2^{2L} \frac{(a_1 - a_2)^2}{(a_1 a_2 - 1)^2 (a_2^2 - 1)}. \tag{3.1.16}
\end{aligned}$$

Учитывая (3.1.12) и (3.1.16), получаем требуемое.  $\square$

**Теорема 3.1.1.** При  $L, K \rightarrow \infty$  для любого  $\delta \neq 0$ ,

$$\|\mathbf{S}_0 \mathbf{B}(\delta) \mathbf{P}_0\| \sim |\delta| d \sqrt{L} a_2^{-N}, \quad \text{где} \tag{3.1.17}$$

$$d = \frac{(a_1 - a_2)^3 (a_2^2 - 1)}{|c| a_2 (a_1 a_2 - 1)^3 (a_2 - 1) (1 - x^2)^2 c_{m_1}}, \quad x = (a_1 - 1)(a_2 - 1)/(a_1 a_2 - 1), \tag{3.1.18}$$

$a$  (см. лемму 3.1.2)

$$c_{m_1} = \sqrt{\frac{1}{a_2^2 - 1} - \frac{a_1^2 - 1}{(a_1 a_2 - 1)^2}}.$$

*Доказательство.* Подставляя выражение для  $\mathbf{S}_0$  (3.1.1) в левую часть (3.1.17), приходим к равенству  $\|\mathbf{S}_0 \mathbf{B}(\delta) \mathbf{P}_0\| = \|\mathbf{P}_{\mu_1} \mathbf{B}(\delta) \mathbf{P}_0/\mu_1 + \mathbf{P}_{\mu_2} \mathbf{B}(\delta) \mathbf{P}_0/\mu_2\|$ . Сначала найдем асимптотику нормы  $\mathbf{P}_{\mu_1} \mathbf{B}(\delta) \mathbf{P}_0/\mu_1$ . Обозначим  $V_i = \alpha_i A_{L1} + A_{L2}$  (собственный вектор с

собственным числом  $\mu_i$ ). Учитывая, что  $\mathbf{P}_0 = \mathbf{I} - \mathbf{P}_{\mu_1} - \mathbf{P}_{\mu_2}$ , где  $\mathbf{P}_{\mu_i} = V_i V_i^T / m_i^2$ , и подставляя разложение  $\mathbf{B}(\delta)$  (2.2.5), получаем

$$\begin{aligned} & \|\mathbf{P}_{\mu_1} \mathbf{B}(\delta) \mathbf{P}_0 / \mu_1\| = \\ & = \frac{1}{\mu_1 m_1^2} \left\| V_1 V_1^T (P_1 Q_1^T + P_2 Q_2^T) - V_1 V_1^T (P_1 Q_1^T + P_2 Q_2^T) (V_1 V_1^T / m_1^2 + V_2 V_2^T / m_2^2) \right\| = \\ & = \frac{1}{\mu_1 m_1^2} \|\mathbf{J}_1 - \mathbf{J}_2\| \end{aligned}$$

с

$$\begin{aligned} \mathbf{J}_1 &= (\alpha_1 A_{L1} + A_{L2})(\alpha_1 A_{L1}^T + A_{L2}^T)(P_1 Q_1^T + P_2 Q_2^T) = \\ &= \alpha_1 A_{L1}(d_1 Q_1^T + d_2 Q_2^T) + A_{L2}(d_1 Q_1^T + d_2 Q_2^T) = (\alpha_1 A_{L1} + A_{L2}) \tilde{Q}^T, \end{aligned}$$

где  $\tilde{Q} = d_1 Q_1 + d_2 Q_2$ ,

$$\begin{aligned} d_1 &= (\alpha_1 A_{L1}^T + A_{L2}^T) P_1 = \alpha_1 s_{K1} \delta A_{L1}^T A_{L1} + \delta s_{K1} A_{L1}^T A_{L2} + O(a_2^L) \sim \\ &\sim \delta c a_2^{2L+K} \frac{(a_1 - a_2)^3}{(a_1 a_2 - 1)^3 (a_2^2 - 1)(a_2 - 1)} \end{aligned} \quad (3.1.19)$$

(см. следствие 3.1.1) и

$$d_2 = (\alpha_1 A_{L1}^T + A_{L2}^T) P_2 = \alpha_1 \frac{a_1^L - 1}{a_1 - 1} + \frac{a_2^L - 1}{a_2 - 1} \sim a_2^L \frac{a_1 - a_2}{(a_2 - 1)(a_1 a_2 - 1)}. \quad (3.1.20)$$

Кроме того,

$$\mathbf{J}_2 = \mathbf{J}_1 \left( (\alpha_1 A_{L1} + A_{L2})(\alpha_1 A_{L1}^T + A_{L2}^T) / m_1^2 + (\alpha_2 A_{L1} + A_{L2})(\alpha_2 A_{L1}^T + A_{L2}^T) / m_2^2 \right).$$

Сгруппируем сомножитель в скобках:

$$\begin{aligned} & (\alpha_1 A_{L1} + A_{L2})(\alpha_1 A_{L1}^T + A_{L2}^T) / m_1^2 + (\alpha_2 A_{L1} + A_{L2})(\alpha_2 A_{L1}^T + A_{L2}^T) / m_2^2 = \\ & = A_{L1} \left( (\alpha_1^2 A_{L1}^T + \alpha_1 A_{L2}^T) / m_1^2 + (\alpha_2^2 A_{L1}^T + \alpha_2 A_{L2}^T) / m_2^2 \right) + \\ & + A_{L2} \left( (\alpha_1 A_{L1}^T + A_{L2}^T) / m_1^2 + (\alpha_2 A_{L1}^T + A_{L2}^T) / m_2^2 \right) = A_{L1} \tilde{X}_1^T + A_{L2} \tilde{X}_2^T, \end{aligned}$$

где

$$\begin{aligned} \tilde{X}_1 &= (\alpha_1^2 A_{L1} + \alpha_1 A_{L2}) / m_1^2 + (\alpha_2^2 A_{L1} + \alpha_2 A_{L2}) / m_2^2 = \alpha_1 V_1 / m_1^2 + \alpha_2 V_2 / m_2^2 \quad \text{и} \\ \tilde{X}_2 &= (\alpha_1 A_{L1} + A_{L2}) / m_1^2 + (\alpha_2 A_{L1} + A_{L2}) / m_2^2 = V_1 / m_1^2 + V_2 / m_2^2. \end{aligned}$$

В этих обозначениях

$$\mathbf{J}_2 = (\alpha_1 A_{L1} \tilde{Q}^T + A_{L2} \tilde{Q}^T) (A_{L1} \tilde{X}_1^T + A_{L2} \tilde{X}_2^T) = (\alpha_1 A_{L1} + A_{L2}) (\tilde{Q}^T A_{L1} \tilde{X}_1^T + \tilde{Q}^T A_{L2} \tilde{X}_2^T).$$

и

$$\mathbf{J}_1 - \mathbf{J}_2 = (\alpha_1 A_{L1} + A_{L2})(\tilde{Q}^T - \tilde{Q}^T A_{L1} \tilde{X}_1^T - \tilde{Q}^T A_{L2} \tilde{X}_2^T),$$

значит

$$\|\mathbf{J}_1 - \mathbf{J}_2\| = \|\alpha_1 A_{L1} + A_{L2}\| \|\tilde{Q} - \tilde{Q}^T A_{L1} \tilde{X}_1 - \tilde{Q}^T A_{L2} \tilde{X}_2\|. \quad (3.1.21)$$

Распишем подробнее второй множитель в правой части (3.1.21):

$$\begin{aligned} \tilde{Q} - \tilde{Q}^T A_{L1} \tilde{X}_1 - \tilde{Q}^T A_{L2} \tilde{X}_2 &= d_1 E_L + d_2 (\delta s_{K1} A_{L1} + \delta c s_{K2} A_{L2}) - \\ &- (d_1 E_L^T A_{L1} + d_2 (\delta s_{K1} A_{L1}^T A_{L1} + \delta c s_{K2} A_{L2}^T A_{L1})) \left( \frac{\alpha_1}{m_1^2} V_1 + \frac{\alpha_2}{m_2^2} V_2 \right) - \\ &- (d_1 E_L^T A_{L2} + d_2 (\delta s_{K1} A_{L1}^T A_{L2} + \delta c s_{K2} A_{L2}^T A_{L2})) \left( \frac{1}{m_1^2} V_1 + \frac{1}{m_2^2} V_2 \right). \end{aligned} \quad (3.1.22)$$

Рассмотрим отдельно сумму слагаемых (3.1.22), имеющих наибольший порядок нормы:

$$\begin{aligned} d_2 \delta s_{K1} \left( A_{L1} - \frac{\alpha_1}{m_1^2} A_{L1}^T A_{L1} (\alpha_1 A_{L1} + A_{L2}) - \frac{\alpha_2^2}{m_2^2} A_{L1}^T A_{L1} A_{L1} - \frac{1}{m_1^2} A_{L1}^T A_{L2} (\alpha_1 A_{L1} + A_{L2}) \right) = \\ = d_2 \delta s_{K1} \left( 1 - \frac{\alpha_2^2}{m_2^2} A_{L1}^T A_{L1} - \frac{\alpha_1^2}{m_1^2} A_{L1}^T A_{L1} - \frac{\alpha_1}{m_1^2} A_{L1}^T A_{L2} \right) A_{L1} - \\ - d_2 \delta s_{K1} \left( \frac{\alpha_1}{m_1^2} A_{L1}^T A_{L1} + \frac{1}{m_1^2} A_{L1}^T A_{L2} \right) A_{L2} =: M. \end{aligned} \quad (3.1.23)$$

Ввиду (3.1.12),  $\alpha_1 A_{L1}^T A_{L1} + A_{L1}^T A_{L2} = O(a_2^{2L+K}/a_1^K)$ . Также имеет место следующая цепочка равенств:

$$\begin{aligned} 1 - \frac{\alpha_2^2}{m_2^2} A_{L1}^T A_{L1} &= \frac{1}{m_2^2} \left( \alpha_2^2 \sum_{i=0}^{L-1} a_1^{2i} + 2\alpha_2 \sum_{i=0}^{L-1} a_1^i a_2^i + \sum_{i=0}^{L-1} a_2^{2i} - \alpha_2^2 A_{L1}^T A_{L1} \right) = \\ &= \frac{1}{m_2^2} \left( 2\alpha_2 \sum_{i=0}^{L-1} a_1^i a_2^i + O(a_2^{2L}) \right) = O\left(\frac{a_2^N}{a_1^N}\right). \end{aligned}$$

Продолжим (3.1.23):

$$M = d_2 \delta s_{K1} \left( O\left(\frac{a_2^N}{a_1^N}\right) - \frac{\alpha_1}{m_1^2} O\left(\frac{a_2^{2L+K}}{a_1^K}\right) \right) A_{L1} - \frac{1}{m_1^2} d_2 \delta s_{K1} O\left(\frac{a_2^{2L+K}}{a_1^K}\right) A_{L2}.$$

Исходя из асимптотик (3.1.20), (3.1.10), (3.1.7) и (3.1.8), нетрудно видеть, что

$\|M\| = O(a_2^{2L+K})$ . Далее, принимая во внимание (3.1.19), получаем, что  $\|d_1 E_L\| = O(\sqrt{L} a_2^{2L+K})$ . Прямыми вычислениями получаем, что порядок нормы нерассмотренных слагаемых (3.1.22) не превосходит  $a_2^{2L+K}$ . Тогда

$$\|\mathbf{J}_1 - \mathbf{J}_2\| \sim \|\alpha_1 A_{L1} + A_{L2}\| \|d_1 E_L\| = d_1 m_1 \sqrt{L}$$

и

$$\|\mathbf{P}_{\mu_1} \mathbf{B}(\delta) \mathbf{P}_0 / \mu_1\| \sim \frac{d_1}{m_1 \mu_1} \sim |\delta| d \sqrt{L} a_2^{-N},$$

где  $d$  определено в (3.1.18).

Осталось доказать, что  $\|\mathbf{P}_{\mu_2} \mathbf{B}(\delta) \mathbf{P}_0 / \mu_2\| = o(\|\mathbf{P}_{\mu_1} \mathbf{B}(\delta) \mathbf{P}_0 / \mu_1\|)$ . Пользуясь асимптотиками теоремы 2.2.1 и (2.1.4), имеем

$$\|\mathbf{P}_{\mu_2} \mathbf{B}(\delta) \mathbf{P}_0 / \mu_2\| \leq \|\mathbf{B}(\delta)\| / \mu_2 = O(\sqrt{L} a_1^{-N}).$$

Отсюда сразу же следует требуемое.  $\square$

**Замечание 3.1.4.** При  $1 < a_2 < a_1 < a_2^2$ , согласно теореме 2.2.1, знаменатель (1.1.4) стремится к 1, и из результата теоремы 3.1.1 следует, что для некоторой постоянной  $C$  при  $L, K \rightarrow \infty$ ,

$$\limsup_N a_2^N \|\mathbf{P}_0^\perp(\delta) - \mathbf{P}_0^\perp\| / \sqrt{L} \leq C|\delta|.$$

### 3.2. Асимптотика нормы матрицы $\mathbf{V}_0^{(1)}$

Как и раньше, мы предполагаем, что матрица  $\mathbf{V}_0^{(1)}$  определяется равенством (1.1.5). Имеет место следующее утверждение.

**Теорема 3.2.1.** При  $L, K \rightarrow \infty$ ,

$$\|\mathbf{V}_0^{(1)}\| \sim d \sqrt{L} a_2^{-N}, \quad (3.2.1)$$

где

$$d = \frac{(a_1 - a_2)^3 (a_2^2 - 1)}{|c| a_2 (a_1 a_2 - 1)^3 (a_2 - 1) (1 - x^2)^2 c_{m_1}}, \quad x = (a_1 - 1)(a_2 - 1) / (a_1 a_2 - 1),$$

а (см. лемму 3.1.2)

$$c_{m_1} = \sqrt{\frac{1}{a_2^2 - 1} - \frac{a_1^2 - 1}{(a_1 a_2 - 1)^2}}.$$

*Доказательство.* Воспользуемся тем, что  $\mathbf{S}_0 = \mathbf{P}_{\mu_1} / \mu_1 + \mathbf{P}_{\mu_2} / \mu_2$ , где  $\mu_1 = \mu_{\min}$ ,  $\mu_2 = \mu_{\max}$ :

$$\begin{aligned} \|\mathbf{V}_0^{(1)}\| &= \left\| \mathbf{P}_0 \mathbf{E} \mathbf{H}^T (\mathbf{P}_{\mu_1} / \mu_1 + \mathbf{P}_{\mu_2} / \mu_2) + (\mathbf{P}_{\mu_1} / \mu_1 + \mathbf{P}_{\mu_2} / \mu_2) \mathbf{H} \mathbf{E}^T \mathbf{P}_0 \right\| = \\ &= \left\| \mathbf{P}_0 \mathbf{E} \mathbf{H}^T \mathbf{P}_{\mu_1} / \mu_1 + \mathbf{P}_{\mu_1} \mathbf{H} \mathbf{E}^T \mathbf{P}_0 / \mu_1 + \mathbf{P}_0 \mathbf{E} \mathbf{H}^T \mathbf{P}_{\mu_2} / \mu_2 + \mathbf{P}_{\mu_2} \mathbf{H} \mathbf{E}^T \mathbf{P}_0 / \mu_2 \right\|. \end{aligned} \quad (3.2.2)$$



Обозначим

$$\mathbf{V}' = \mathbf{P}_0 \mathbf{E} \mathbf{H}^T \mathbf{P}_{\mu_1} / \mu_1 + \mathbf{P}_{\mu_1} \mathbf{H} \mathbf{E}^T \mathbf{P}_0 / \mu_1 \quad (3.2.3)$$

и найдем асимптотику нормы  $\mathbf{V}'$ . Подставляя  $\mathbf{P}_0 = \mathbf{I} - \mathbf{P}_{\mu_1} - \mathbf{P}_{\mu_2}$  и выражения (2.2.2) и (2.2.4) для  $\mathbf{H} \mathbf{E}^T$  и  $\mathbf{E} \mathbf{H}^T$  в (3.2.3), получаем

$$\begin{aligned} \|\mathbf{V}'\| = & \left\| (\mathbf{I} - \mathbf{P}_{\mu_1} - \mathbf{P}_{\mu_2}) (s_{K1} E_L A_{L1}^T + c s_{K2} E_L A_{L2}^T) \mathbf{P}_{\mu_1} / \mu_1 + \right. \\ & \left. + \mathbf{P}_{\mu_1} (s_{K1} A_{L1} E_L^T + c s_{K2} A_{L2} E_L^T) (\mathbf{I} - \mathbf{P}_{\mu_1} - \mathbf{P}_{\mu_2}) / \mu_1 \right\|. \end{aligned} \quad (3.2.4)$$

Разобьём подмодульное выражение в правой части (3.2.4) на следующие слагаемые:

$$\begin{aligned} J_1 &= \mathbf{Z} \mathbf{P}_{\mu_1} / \mu_1, \quad J_2 = -\mathbf{P}_{\mu_1} \mathbf{Z} \mathbf{P}_{\mu_1} / \mu_1, \quad J_3 = -\mathbf{P}_{\mu_2} \mathbf{Z} \mathbf{P}_{\mu_1} / \mu_1, \\ J_4 &= \mathbf{P}_{\mu_1} \mathbf{Z}^T / \mu_1, \quad J_5 = -\mathbf{P}_{\mu_1} \mathbf{Z}^T \mathbf{P}_{\mu_1} / \mu_1, \quad J_6 = -\mathbf{P}_{\mu_1} \mathbf{Z}^T \mathbf{P}_{\mu_2} / \mu_1, \end{aligned} \quad (3.2.5)$$

где  $\mathbf{Z} = s_{K1} E_L A_{L1}^T + c s_{K2} E_L A_{L2}^T$ .

Заметим, что нормы слагаемых  $J_1 - J_3$  равны нормам  $J_4 - J_6$  соответственно, как нормы транспонированных матриц. Покажем, что нормы  $J_2$  и  $J_3$  имеют меньший порядок, чем норма  $J_1$ .

Найдем асимптотику нормы  $J_1$ . Константы  $s_{Ki}$  определены в (2.2.3), асимптотики  $m_i$  указаны в лемме 3.1.2, асимптотики  $\mu_i$  в предложении 2.1.1 и, согласно (3.1.2),  $A_{Li} = X_i$ .

$$\begin{aligned} \|J_1\| &= \left\| \frac{1}{\mu_1} (s_{K1} E_L A_{L1}^T + c s_{K2} E_L A_{L2}^T) \left( \frac{1}{m_1^2} (\alpha_1 X_1 + X_2) (\alpha_1 X_1^T + X_2^T) \right) \right\| = \\ &= \frac{1}{\mu_1 m_1^2} \left\| (s_{K1} E_L (\alpha_1 A_{L1}^T A_{L1} + A_{L1}^T A_{L2}) + c s_{K2} E_L (\alpha_1 A_{L1}^T A_{L2} + A_{L2}^T A_{L2})) (\alpha_1 X_1^T + X_2^T) \right\| \sim \\ &\sim \frac{s_{K1} (\alpha_1 A_{L1}^T A_{L1} + A_{L1}^T A_{L2}) + c s_{K2} (\alpha_1 A_{L1}^T A_{L2} + A_{L2}^T A_{L2})}{\mu_1 m_1^2} \|E_L (\alpha_1 X_1^T + X_2^T)\|. \end{aligned} \quad (3.2.6)$$

Учитывая (3.1.15), получаем

$$\begin{aligned} \|J_1\| &\sim |c| a_2^{2L+K} \left( \frac{(a_1 - a_2)^3}{(a_1 a_2 - 1)^3 (a_2^2 - 1) (a_2 - 1)} \right) \frac{1}{\mu_1 m_1^2} \|E_L (\alpha_1 X_1^T + X_2^T)\| \sim \\ &\sim \frac{|c| (a_1 - a_2)^3 a_2^{2L+K} (a_2^2 - 1)^2 \|E_L (\alpha_1 X_1^T + X_2^T)\|}{(a_1 a_2 - 1)^3 (a_2^2 - 1) (a_2 - 1) c^2 (a_2^{2L} - 1) (a_2^{2K} - 1) (1 - x^2)^2 (c_{m_1})^2 a_2^{2L}} \sim \\ &\sim c_1 \frac{1}{a_2^{2L+K}} \|E_L (\alpha_1 X_1^T + X_2^T)\| \sim c_2 \frac{\sqrt{L}}{a_2^N}, \end{aligned} \quad (3.2.7)$$

где

$$c_1 = \frac{(a_1 - a_2)^3 (a_2^2 - 1)}{|c| (a_1 a_2 - 1)^3 (a_2 - 1) (1 - x^2) (1 - y^2) (c_{m_1})^2},$$

$$c_2 = c_2 c_{m_1} / a_2.$$

Слагаемое  $J_2$  получается домножением  $J_1$  слева на  $-\mathbf{P}_{\mu_1}$ , поэтому

$$\begin{aligned} \|J_2\| &= \left\| \frac{1}{\mu_1} \mathbf{P}_{\mu_1} (s_{K1} E_L A_{L1}^T + c s_{K2} E_L A_{L2}^T) \left( \frac{1}{m_1^2} (\alpha_1 X_1 + X_2) (\alpha_1 X_1^T + X_2^T) \right) \right\| \sim \\ &\sim c_1 \frac{1}{a_2^{2L+K}} \frac{1}{m_1^2} \|(\alpha_1 X_1 + X_2) (\alpha_1 X_1^T + X_2^T) E_L (\alpha_1 X_1^T + X_2^T)\| = \\ &= c_1 \frac{(\alpha_1 X_1^T + X_2^T) E_L}{a_2^{2L+K} m_1^2} \|(\alpha_1 X_1 + X_2)\|^2 = c_1 \frac{(\alpha_1 X_1^T + X_2^T) E_L}{a_2^{2L+K}} = O(a_2^{-N}) \end{aligned}$$

Что касается слагаемого  $J_3$ , то

$$\begin{aligned} \|J_3\| &= \left\| \frac{1}{\mu_1} \mathbf{P}_{\mu_2} (s_{K1} E_L A_{L1}^T + c s_{K2} E_L A_{L2}^T) \left( \frac{1}{m_1^2} (\alpha_1 X_1 + X_2) (\alpha_1 X_1^T + X_2^T) \right) \right\| \sim \\ &\sim c_1 \frac{1}{a_2^{2L+K}} \frac{1}{m_2^2} \|(\alpha_2 X_1 + X_2) (\alpha_2 X_1^T + X_2^T) E_L (\alpha_1 X_1^T + X_2^T)\| = O(a_2^{-N}), \end{aligned}$$

поскольку в силу асимптотики  $\alpha_2$  (см. предложение 3.1.1),  $(\alpha_2 X_1^T + X_2^T) E_L$  имеет порядок роста  $a_1^N / a_2^K$ , и, согласно асимптотике  $m_2$  (лемма 3.1.2),

$$\begin{aligned} \frac{1}{m_2^2} \|(\alpha_2 X_1 + X_2) (\alpha_1 X_1^T + X_2^T)\| &= \frac{1}{m_2^2} \|(\alpha_2 X_1 + X_2)\| \|(\alpha_1 X_1^T + X_2^T)\| = \\ &= \frac{1}{m_2} \|(\alpha_1 X_1^T + X_2^T)\| = O\left(\frac{a_2^N}{a_1^N}\right). \end{aligned}$$

Таким образом, слагаемые  $J_1$  и  $J_4$  являются главными членами (3.2.4), то есть

$$\|\mathbf{V}'\| \sim c_1 \frac{1}{a_2^{2L+K}} \|E_L (\alpha_1 X_1^T + X_2^T) + E_L^T (\alpha_1 X_1 + X_2)\|.$$

Обозначим  $Z_1 = E_L / \|E_L\|$ ,  $Z_2 = (\alpha_1 X_1 + X_2) / \|\alpha_1 X_1 + X_2\|$ ,  $\mathbf{X} = [Z_1, Z_2]$ ,  $\mathbf{Y} = [Z_2, Z_1]$ , а также  $\mathbf{G} = E_L (\alpha_1 X_1^T + X_2^T) + E_L^T (\alpha_1 X_1 + X_2)$ . Согласно первому утверждению леммы 1.1.1, максимальные собственные числа матриц  $\mathbf{G}\mathbf{G}^T$  и

$$\mathbf{C} = \|E_L\|^2 \|\alpha_1 X_1 + X_2\|^2 \mathbf{X}^T \mathbf{X} \mathbf{Y}^T \mathbf{Y}$$

совпадают. Поскольку  $E_L^T (\alpha_1 X_1 + X_2)$  имеет порядок роста  $a_2^L$ , а  $\|E_L\| \|(\alpha_1 X_1 + X_2)\|$  — порядок  $\sqrt{L} a_2^L$ , то  $\mathbf{X}^T \mathbf{X} \rightarrow \mathbf{I}$ ,  $\mathbf{Y}^T \mathbf{Y} \rightarrow \mathbf{I}$ . Значит,

$$\begin{aligned} \|\mathbf{V}'\| &\sim c_1 \frac{1}{a_2^{2L+K}} \|E_L (\alpha_1 X_1^T + X_2^T) + E_L^T (\alpha_1 X_1 + X_2)\| \sim c_1 \frac{1}{a_2^{2L+K}} \sqrt{\|\mathbf{C}\|} \sim \\ &\sim c_1 \sqrt{L} c_{m_1} a_2^L \frac{1}{a_2^{2L+K}} \sim d \frac{\sqrt{L}}{a_2^N}, \end{aligned} \quad (3.2.8)$$

где  $d = c_1 c_{m_1} / a_2$ .

Докажем, наконец, что  $\|\mathbf{V}_0^{(1)}\| \sim \|\mathbf{V}'\|$ . Ввиду (3.2.2), для этого достаточно, чтобы  $\|\mathbf{P}_0 \mathbf{E} \mathbf{H}^T \mathbf{P}_{\mu_2} / \mu_2 + \mathbf{P}_{\mu_2} \mathbf{H} \mathbf{E}^T \mathbf{P}_0 / \mu_2\| = o\left(\sqrt{L}/a_2^N\right)$ .

Заметим сначала, что  $\|\mathbf{P}_0 \mathbf{E} \mathbf{H}^T \mathbf{P}_{\mu_2} / \mu_2\| = \|\mathbf{P}_{\mu_2} \mathbf{H} \mathbf{E}^T \mathbf{P}_0 / \mu_2\|$ . Далее,

$$\|\mathbf{P}_0 \mathbf{E} \mathbf{H}^T \mathbf{P}_{\mu_2} / \mu_2\| \leq \|\mathbf{E} \mathbf{H}^T\| / \mu_2 \leq \|\mathbf{E}\| \|\mathbf{H}\| / \mu_2 = \sqrt{KL} O(a_1^N) \cdot O(a_1^{-2N}) = o(\sqrt{L} a_2^{-N}),$$

что и требовалось доказать.  $\square$

**Замечание 3.2.1.** Согласно теореме 1.1.3, при  $L, K \rightarrow \infty$ ,

$$\begin{aligned} \left\| \mathbf{P}_0^\perp(\delta) - \mathbf{P}_0^\perp - \delta \mathbf{V}_0^{(1)} \right\| &= \delta^2 O(\Theta^2) = \delta^2 O\left(\left(\sqrt{\frac{\nu_{\max} \mu_{\max}}{\mu_{\max} \mu_{\min}}}\right)^2\right) = \\ &= \delta^2 O\left(\left(\sqrt{\frac{KL a_1^{2N}}{a_1^{2N} a_2^{2N}}}\right)^2\right) = \delta^2 O\left(\frac{KL a_1^{2N}}{a_2^{4N}}\right). \end{aligned} \quad (3.2.9)$$

Так как при любом фиксированном  $\delta$  при  $L, K \rightarrow \infty$

$$\left\| \mathbf{P}_0^\perp(\delta) - \mathbf{P}_0^\perp \right\| \leq |\delta| \left\| \mathbf{V}_0^{(1)} \right\| + \left\| \mathbf{P}_0^\perp(\delta) - \mathbf{P}_0^\perp - \delta \mathbf{V}_0^{(1)} \right\| = O(\sqrt{L} a_2^{-N}) + O(LK a_1^{2N} a_2^{-4N}),$$

то отсюда сразу же получается, что при  $1 < a_2 < a_1 < a_2^2 \leq a_1^{4/3}$ ,

$$\left\| \mathbf{P}_0^\perp(\delta) - \mathbf{P}_0^\perp \right\| = O(LK a_1^{2N} a_2^{-4N}),$$

а при  $1 < a_2 < a_1 < a_2^{3/2}$ ,  $\delta \mathbf{V}_0^{(1)}$  является главным членом  $\mathbf{P}_0^\perp(\delta) - \mathbf{P}_0^\perp$  и

$$\left\| \mathbf{P}_0^\perp(\delta) - \mathbf{P}_0^\perp \right\| \sim \delta \left\| \mathbf{V}_0^{(1)} \right\|.$$

## Глава 4

## Ошибки восстановления

## 4.1. Общее описание задачи и метода решения

Как уже было упомянуто в разделе 1.1, ошибка восстановления исходного ряда зависит от разности проекторов. Основываясь на рассуждениях, приведенных в [1, Ch. 5. 3], будем оценивать ошибки восстановления в равномерной норме

$$\|\tilde{F}_N(\delta) - F_N\|_{\max} = \max_{0 \leq i < N} |\tilde{f}_i - f_i|,$$

где  $\tilde{f}_i$  — элементы восстановленного сигнала (см. описание в разделе (1.1)).

Из формулы (1.1.6) получаем, что

$$\begin{aligned} & \|\tilde{F}_N(\delta) - F_N\|_{\max} \leq \\ & \leq \left\| \mathcal{S} \left( \left( \mathbf{P}_0^\perp(\delta) - \mathbf{P}_0^\perp - \delta \mathbf{V}_0^{(1)} \right) \mathbf{H}(\delta) \right) \right\|_{\max} + \left\| \mathcal{S} \left( \delta \mathbf{V}_0^{(1)} \mathbf{H}(\delta) + \delta \mathbf{P}_0^\perp \mathbf{E} \right) \right\|_{\max}, \end{aligned} \quad (4.1.1)$$

где матрица  $\mathbf{V}_0^{(1)}$  определена в (1.1.5), а  $\mathbf{H}(\delta) = \mathbf{H} + \delta \mathbf{E}$ .

Известно, что равномерная норма ограничивается сверху спектральной. Поэтому, если при  $N \rightarrow \infty$

$$\left\| \left( \mathbf{P}_0^\perp(\delta) - \mathbf{P}_0^\perp - \delta \mathbf{V}_0^{(1)} \right) \mathbf{H}(\delta) \right\| \rightarrow 0, \quad (4.1.2)$$

то

$$\left\| \left( \mathbf{P}_0^\perp(\delta) - \mathbf{P}_0^\perp - \delta \mathbf{V}_0^{(1)} \right) \mathbf{H}(\delta) \right\|_{\max} \rightarrow 0. \quad (4.1.3)$$

Заметим, что ближайшая по норме Фробениуса ганкелева матрица получается заменой элементов на побочных диагоналях средними вдоль этих диагоналей, а равномерная норма временного ряда равна равномерной норме соответствующей траекторной матрицы. Поэтому линейный оператор  $\mathcal{S}$  ограничен, как оператор из пространства матриц с равномерной нормой в пространство временных рядов с равномерной нормой. То есть из (4.1.3) (а значит и из (4.1.2)) следует

$$\left\| \mathcal{S} \left( \left( \mathbf{P}_0^\perp(\delta) - \mathbf{P}_0^\perp - \delta \mathbf{V}_0^{(1)} \right) \mathbf{H}(\delta) \right) \right\|_{\max} \rightarrow 0, \quad (4.1.4)$$

и (4.1.1) можно переписать в виде

$$\|\tilde{F}_N(\delta) - F_N\|_{\max} = |\delta| \left\| \mathcal{S}\left(\mathbf{V}_0^{(1)}\mathbf{H}(\delta) + \mathbf{P}_0^\perp\mathbf{E}\right) \right\|_{\max} + o(1).$$

Учитывая (3.2.9) и то, что норма  $\mathbf{H}(\delta)$  имеет порядок  $a_1^N$ , получаем, что выполнения неравенства  $a_1^{3/2}/a_2^2 < 1$  достаточно для сходимости (4.1.4). Действительно, в этом случае

$$\begin{aligned} \left\| \left( \mathbf{P}_0^\perp(\delta) - \mathbf{P}_0^\perp - \delta\mathbf{V}_0^{(1)} \right) \mathbf{H}(\delta) \right\| &\leq \left\| \mathbf{P}_0^\perp(\delta) - \mathbf{P}_0^\perp - \delta\mathbf{V}_0^{(1)} \right\| \|\mathbf{H}(\delta)\| = \\ &= \delta^2 O\left(KL \frac{a_1^{2N}}{a_2^{4N}}\right) \cdot O(a_1^N) = \delta^2 O\left(KL \frac{a_1^{3N}}{a_2^{4N}}\right) \rightarrow 0. \end{aligned}$$

Тем самым анализ ошибок восстановления при  $N \rightarrow \infty$  сводится к анализу рядов, получаемых диагональным усреднением матриц вида

$$\mathbf{V}_0^{(1)}\mathbf{H}(\delta) + \mathbf{P}_0^\perp\mathbf{E}, \quad (4.1.5)$$

что существенно облегчает задачу.

Известно, что максимальная по модулю ошибка восстановления отделена от нуля при  $N \rightarrow \infty$  в случае сигнала  $f_n = a^n$ ,  $a > 1$  при постоянной помехе  $e_n = 1$  [1, Prop. 5.4] и «пилообразной» помехе  $e_n = (-1)^n$  [5, Предл. 3.2.1].

Ниже будет доказано, что этот же результат имеет место для сигнала  $f_n = a_1^n + ca_2^n$  и постоянной помехи, если  $a_1 > a_2 > 1$  и  $a_1^{3/2}/a_2^2 < 1$ . На самом деле доказательство сведется к анализу ошибки  $\tilde{f}_{N-1} - f_{N-1}$  восстановления сигнала в последней точке, то есть к исследованию асимптотики нижнего правого элемента матриц (4.1.5) при  $N \rightarrow \infty$ .

## 4.2. Ошибка восстановления последнего элемента сигнала

Обозначим  $r_{LK}$  нижний правый элемент матрицы (4.1.5).

**Теорема 4.2.1.** При  $L, K \rightarrow \infty$ ,

$$r_{LK} \rightarrow r_\infty \stackrel{\text{def}}{=} r_1^{as} + r_2^{as} + v_1^{as}(1 - r_1^{as} - r_2^{as}) + w_2^{as}(1 - r_1^{as} - r_2^{as}), \quad (4.2.1)$$

где

$$\begin{aligned} r_1^{as} &= -\frac{(a_1 - a_2)^2}{a_1 a_2 (a_2 - 1)(a_1 a_2 - 1)^2 c_{m_1}^2}, & r_2^{as} &= \frac{(a_1 a_2 - 1)^2}{c^2 a_1 (a_1 - 1)(a_1^2 - 1)^2 c_{m_2}^2}, \\ v_1^{as} &= -c_1 \frac{c(a_1 - a_2)^3}{a_1 a_2 (a_1 a_2 - 1)(a_2^2 - 1)}, & w_1^{as} &= \frac{(a_1 a_2 - 1)^2}{c^2 (a_1 - 1)(a_1^2 - 1)^2 c_{m_2}^2 a_1} \end{aligned}$$

и

$$c_1 = \frac{(a_1 - a_2)^3(a_2^2 - 1)}{c(a_1a_2 - 1)^3(a_2 - 1)(1 - x^2)^2 c_{m_1}^2}.$$

Кроме того, постоянные  $c_{m_i}$  определены в (3.1.11), а константа  $x$  — в (2.1.3).

*Доказательство.* Рассмотрим сначала второе слагаемое в сумме (4.1.5). Проектор на подпространство собственного вектора с собственным числом  $\mu$  кратности 1 имеет вид  $\mathbf{P}_\mu = U_\mu U_\mu^\top$ , где  $U_\mu$  — соответствующий нормированный собственный вектор. В нашем случае 2 отличных от нуля собственных числа и они имеют кратность 1, а соответствующие собственные векторы указаны в (3.1.3), поэтому

$$\begin{aligned} \mathbf{P}_0^\perp \mathbf{E} &= \mathbf{P}_{\mu_1} \mathbf{E} + \mathbf{P}_{\mu_2} \mathbf{E} = \\ &= \frac{1}{m_1^2} (\alpha_1 A_{L1} + A_{L2}) (\alpha_1 A_{L1} + A_{L2})^\top E_L E_K^\top + \frac{1}{m_2^2} (\alpha_2 A_{L1} + A_{L2}) (\alpha_2 A_{L1} + A_{L2})^\top E_L E_K^\top, \end{aligned}$$

где  $m_i = \|\alpha_i A_{L1} + A_{L2}\|$ , а  $\alpha_i$  определены в (3.1.4).

Обозначим нижние правые элементы матриц  $\mathbf{P}_{\mu_1} \mathbf{E}$ ,  $\mathbf{P}_{\mu_2} \mathbf{E}$  как  $r_1, r_2$ .

Прямыми вычислениями, используя (3.1.7), (3.1.8) и (3.1.10), получаем, что при  $N \rightarrow \infty$

$$\frac{1}{m_1} (\alpha_1 A_{L1} + A_{L2})^\top E_L \rightarrow \frac{a_1 - a_2}{(a_2 - 1)(a_1 a_2 - 1) c_{m_1}} \quad \text{и} \quad (4.2.2)$$

$$\frac{1}{m_2} (\alpha_2 A_{L1} + A_{L2})^\top E_L \rightarrow \frac{a_1 a_2 - 1}{c(a_1 - 1)(a_1^2 - 1) c_{m_2}}. \quad (4.2.3)$$

Правыми нижними элементами матриц

$$\frac{1}{m_1} (\alpha_1 A_{L1} + A_{L2}) E_K^\top \quad \text{и} \quad \frac{1}{m_2} (\alpha_2 A_{L1} + A_{L2}) E_K^\top$$

будут соответственно

$$\rho_1 \stackrel{\text{def}}{=} \frac{\alpha_1 a_1^{L-1} + a_2^{L-1}}{m_1} \quad \text{и} \quad \rho_2 \stackrel{\text{def}}{=} \frac{\alpha_2 a_1^{L-1} + a_2^{L-1}}{m_2},$$

причем при  $N \rightarrow \infty$

$$\rho_1 \rightarrow -\frac{a_1 - a_2}{a_1 a_2 (a_1 a_2 - 1) c_{m_1}} \quad \text{и} \quad \rho_2 \rightarrow \frac{a_1 a_2 - 1}{a_1 c(a_1^2 - 1) c_{m_2}}.$$

Таким образом,  $r_1 \rightarrow r_1^{as}$  и  $r_2 \rightarrow r_2^{as}$ .

Теперь найдем асимптотику нижнего правого элемента  $r_V$  матрицы  $\mathbf{V}_0^{(1)} \mathbf{H}(\delta)$ . Учитывая (1.1.5) и то, что  $\mathbf{S}_0 = \mathbf{P}_{\mu_1}/\mu_1 + \mathbf{P}_{\mu_2}/\mu_2$ , получаем равенство

$$\mathbf{V}_0^{(1)} \mathbf{H}(\delta) = (\mathbf{P}_0 \mathbf{E} \mathbf{H}^\top \mathbf{P}_{\mu_1}/\mu_1 + \mathbf{P}_{\mu_1} \mathbf{H} \mathbf{E}^\top \mathbf{P}_0/\mu_1) \mathbf{H}(\delta) +$$

$$+ (\mathbf{P}_0 \mathbf{E} \mathbf{H}^T \mathbf{P}_{\mu_2} / \mu_2 + \mathbf{P}_{\mu_2} \mathbf{H} \mathbf{E}^T \mathbf{P}_0 / \mu_2) \mathbf{H}(\delta). \quad (4.2.4)$$

Сначала рассмотрим первое слагаемое в правой части (4.2.4). Как и в теореме 3.2.1, представим его в виде  $\sum_{i=1}^6 J_i \mathbf{H}(\delta)$ , где  $J_i$  определены в (3.2.5). Заметим, что

$$(J_4 + J_5 + J_6) \mathbf{H}(\delta) = \mathbf{P}_{\mu_1} \mathbf{H} \mathbf{E}^T \mathbf{P}_0 (\mathbf{H} + \delta \mathbf{E}) / \mu_1 = \delta (J_4 + J_5 + J_6) \mathbf{E}.$$

Обозначим теперь при  $i = 1, 2, 3$  нижние правые элементы матриц  $J_i \mathbf{H}(\delta)$  через  $v_i$ . При  $i = 4, 5, 6$ ,  $v_i$  будут обозначать нижние правые элементы матриц  $\delta J_i \mathbf{E}$ .

С помощью аналогичных (3.2.7) преобразований получим, что

$$\begin{aligned} J_1 \mathbf{H}(\delta) &= c_1 \frac{1}{a_2^{2L+K}} E_L (\alpha_1 A_{L1}^T + A_{L2}^T) (A_{L1} A_{K1}^T + c A_{L2} A_{K2}^T + \delta E_L E_K^T) = \\ &= \frac{c_1}{a_2^{2L+K}} E_L ((\alpha_1 A_{L1}^T + A_{L2}^T) A_{L1} A_{K1}^T + (\alpha_1 A_{L1}^T + A_{L2}^T) A_{L2} A_{K2}^T + \delta (\alpha_1 A_{L1}^T + A_{L2}^T) E_L E_K^T), \end{aligned}$$

где

$$c_1 = \frac{(a_1 - a_2)^3 (a_2^2 - 1)}{c (a_1 a_2 - 1)^3 (a_2 - 1) (1 - x^2)^2 (c_{m_1})^2}.$$

Подставляя в выражение для  $J_1 \mathbf{H}(\delta)$  асимптотики (3.1.12) и (3.1.16) для  $(\alpha_1 A_{L1}^T + A_{L2}^T) A_{L1}$  и  $(\alpha_1 A_{L1}^T + A_{L2}^T) A_{L2}$ , получаем:

$$v_1 \sim \frac{c_1}{a_2^{2L+K}} \left( d_1 \frac{a_2^{2L+K}}{a_1^K} a_1^{K-1} + d_2 a_2^{2L} a_2^{K-1} \right),$$

где

$$d_1 = -c \frac{(a_1 - a_2)^2 (a_1^2 - 1)}{(a_1 a_2 - 1)^3 (a_2 - 1)}, \quad d_2 = \frac{c (a_1 - a_2)^2}{(a_1 a_2 - 1)^2 (a_2^2 - 1)}.$$

Таким образом,

$$v_1 \rightarrow v_1^{as} = -c_1 \frac{c (a_1 - a_2)^3}{a_1 a_2 (a_1 a_2 - 1) (a_2^2 - 1)}.$$

Сходимости  $v_2 \rightarrow -v_1^{as} r_1^{as}$  и  $v_3 \rightarrow -v_1^{as} r_2^{as}$  проверяются прямыми вычислениями. Наконец,

$$\begin{aligned} v_4 &= \frac{1}{\mu_1 m_1^2} (\alpha_1 a_1^{L-1} + a_2^{L-1}) (\alpha_1 A_{L1} + A_{L2})^T (s_{K1} A_{L1} + c s_{K2} A_{L2}) E_L^T E_L \sim \\ &\sim \frac{c_1 L}{a_2^{2L+K}} (\alpha_1 a_1^{L-1} + a_2^{L-1}) = \frac{c_1 L}{a_2^{2L+K}} O(a_2^L) = o(1). \end{aligned}$$

Учитывая (4.2.2) и (4.2.3), видим, что

$$v_5 \sim \frac{c_1 L}{a_2^{2L+K}} (\alpha_1 a_1^{L-1} + a_2^{L-1}) E_L^T \frac{1}{m_1^2} (\alpha_1 A_{L1} + A_{L2}) (\alpha_1 A_{L1} + A_{L2})^T E_L =$$

$$\begin{aligned}
&= \frac{c_1 L}{a_2^{2L+K}} (\alpha_1 a_1^{L-1} + a_2^{L-1}) O(1) = o(1), \\
v_6 &\sim \frac{c_1 L}{a_2^{2L+K}} (\alpha_1 a_1^{L-1} + a_2^{L-1}) E_L^T \frac{1}{m_2^2} (\alpha_2 A_{L1} + A_{L2}) (\alpha_2 A_{L1} + A_{L2})^T E_L = \\
&= \frac{c_1 L}{a_2^{2L+K}} (\alpha_1 a_1^{L-1} + a_2^{L-1}) O(1) = o(1).
\end{aligned}$$

Таким образом,  $\sum_{i=1}^6 v_i \rightarrow v_1^{as}(1 - r_1^{as} - r_2^{as})$ .

Теперь займемся вторым слагаемым в правой части (4.2.4). Легко видеть, что

$$(\mathbf{P}_0 \mathbf{E} \mathbf{H}^T \mathbf{P}_{\mu_2/\mu_2} + \mathbf{P}_{\mu_2} \mathbf{H} \mathbf{E}^T \mathbf{P}_0/\mu_2) \mathbf{H}(\delta) = \sum_{i=1}^6 I_i \mathbf{H}(\delta),$$

где

$$\begin{aligned}
I_1 &= \mathbf{Z} \mathbf{P}_{\mu_2/\mu_2}, \quad I_2 = -\mathbf{P}_{\mu_1} \mathbf{Z} \mathbf{P}_{\mu_2/\mu_2}, \quad I_3 = -\mathbf{P}_{\mu_2} \mathbf{Z} \mathbf{P}_{\mu_2/\mu_2}, \\
I_4 &= \mathbf{P}_{\mu_2} \mathbf{Z}^T/\mu_2, \quad I_5 = -\mathbf{P}_{\mu_2} \mathbf{Z}^T \mathbf{P}_{\mu_1}/\mu_2, \quad I_6 = -\mathbf{P}_{\mu_2} \mathbf{Z}^T \mathbf{P}_{\mu_2}/\mu_2.
\end{aligned}$$

с  $\mathbf{Z} = s_{K1} E_L A_{L1}^T + c s_{K2} E_L A_{L2}^T$ . Как и раньше,  $I_i \mathbf{H}(\delta) = \delta I_i \mathbf{E}$  при  $i = 4, 5, 6$ .

Будем обозначать  $w_i, i = 1, 2, 3$  нижние правые элементы матриц  $I_i \mathbf{H}(\delta)$ , а при  $i = 4, 5, 6$  — нижние правые элементы матриц  $\delta I_i \mathbf{E}$ . Далее,

$$\begin{aligned}
&I_1 \mathbf{H}(\delta) = \\
&= \frac{E_L (s_{K1} A_{L1} + c s_{K2} A_{L2})^T (\alpha_2 A_{L1} + A_{L2}) (\alpha_2 A_{L1} + A_{L2})^T (A_{L1} A_{K1}^T + c A_{L2} A_{K2}^T + \delta E_L E_K^T)}{\mu_2 m_2^2}.
\end{aligned}$$

Пользуясь асимптотиками (2.1.4), (3.1.8) и леммой 3.1.2, получаем

$$\begin{aligned}
&\frac{1}{\mu_2 m_2^2} (s_{K1} A_{L1} + c s_{K2} A_{L2})^T (\alpha_2 A_{L1} + A_{L2}) \sim \\
&\sim \frac{(a_1^2 - 1)^2}{a_1^{2L+2K} a_1^{2L} c_{m_2}^2} \left(\frac{a_2}{a_1}\right)^{2K} \frac{a_1 a_2 - 1}{c(a_1^2 - 1)} \left(\frac{a_1}{a_2}\right)^K \frac{a_1^K}{a_1 - 1} \frac{a_1^{2L}}{a_1^2 - 1} \sim \frac{a_1 a_2 - 1}{c(a_1 - 1) c_{m_2}^2} \frac{a_2^K}{a_1^{2L+2K}}. \quad (4.2.5)
\end{aligned}$$

Тогда

$$\begin{aligned}
w_1 &\sim \frac{a_1 a_2 - 1}{c(a_1 - 1) c_{m_2}^2} \frac{a_2^K}{a_1^{2L+2K}} (\alpha_2 A_{L1} + A_{L2})^T A_{L1} \frac{a_1^K}{a_1} \sim \\
&\sim \frac{a_1 a_2 - 1}{c(a_1 - 1) c_{m_2}^2} \frac{a_2^K}{a_1^{2L+2K}} \left(\frac{a_1}{a_2}\right)^K \frac{a_1 a_2 - 1}{c(a_1^2 - 1)} \frac{a_1^{2L}}{a_1^2 - 1} \frac{a_1^K}{a_1} = \frac{(a_1 a_2 - 1)^2}{c^2 (a_1 - 1) (a_1^2 - 1)^2 c_{m_2}^2 a_1}.
\end{aligned}$$

Нетрудно видеть, что  $w_2 \rightarrow -r_1^{as} w_1^{as}$  и  $w_3 \rightarrow -r_2^{as} w_1^{as}$ .

Подставляя асимптотику (4.2.5) в  $\delta I_i \mathbf{E}$  при  $i = 4, 5, 6$ , видим, что

$$\begin{aligned}
w_4 &= \delta \frac{L}{\mu_2 m_2^2} (\alpha_2 a_1^{L-1} + a_2^{L-1}) (\alpha_2 A_{L1} + A_{L2})^T (s_{K1} A_{L1} + c s_{K2} A_{L2}) = \\
&= \delta L (\alpha_2 a_1^{L-1} + a_2^{L-1}) O\left(\frac{a_2^K}{a_1^{2L+2K}}\right) = o(1).
\end{aligned}$$

Аналогично,  $w_5 = o(1)$  и  $w_6 = o(1)$ . Таким образом, утверждение доказано.  $\square$



**Замечание 4.2.1.** Нетрудно проверить, что  $r_\infty$  не зависит от  $c$ . Но ввиду сложной зависимости  $r_\infty$  от  $a_1$  и  $a_2$  не удастся непосредственно доказать, что при всех значениях этих параметров предельное значение  $r_{LK}$  отлично от нуля. Ясно, однако, что такая ситуация является скорее исключением, чем правилом, что продемонстрировано в разделе [A.6](#).

## Заключение

В работе рассматривалась задача исследования асимптотического поведения нормы разности проекторов в случае, когда исходный сигнал является суммой двух экспонент  $f_n = a_1^n + ca_2^n$ ,  $1 < a_2 < a_1$ ,  $c \neq 0$ , а помеха — константой  $e_n = 1$ . Также проводилось исследование ошибок восстановления в методе SSA в этом случае.

В рамках этих задач получены следующие результаты.

1. Найдены точные условия, при которых  $\|\mathbf{B}(\delta)\|/\mu_{\min}$  стремится к нулю. Эти условия оказались не слабее тех, что получены при грубых оценках.
2. Уточнена оценка сверху нормы разности возмущенного и невозмущенного проекторов  $\|\mathbf{P}_0^\perp(\delta) - \mathbf{P}_0^\perp\|$ ;
3. В случае  $a_1 < a_2^{3/2}$  доказано, что полученная оценка точна.
4. Доказано и численно проверено, что ошибка восстановления в последней точке ряда, вообще говоря, не стремится к нулю при  $N \rightarrow \infty$ , а значит и максимальная по модулю ошибка восстановления не стремится к нулю.
5. Основные результаты проиллюстрированы с помощью вычислительных экспериментов, причем некоторые из этих экспериментов приводят к предположению, что условия нескольких доказанных утверждений могут быть ослаблены.

## Список литературы

1. Nekrutkin V. Perturbation expansions of signal subspaces for long signals // *Statistics and Its Interface*. — 2010. — P. 297–319.
2. Като Т. Теория возмущения линейных операторов. — М. : Мир, 1972. — С. 740.
3. Golyandina N., Nekrutkin V., Zhigljavsky A. *Analysis of Time Series Structure: SSA and related techniques*. — Chapman and Hall/CRC, 2001. — Vol. 90 of *Monographs on Statistics and Applied Probability*. — P. 320.
4. Golyandina N., Zhigljavsky A. *Singular Spectrum Analysis for Time Series*. — Berlin-Heidelberg : Springer Briefs in Statistics, Springer, 2013.
5. Иванова Е. Об одном примере, относящемся к анализу сингулярного спектра временных рядов. Бакалаврская работа. — СПб : СПбГУ, 2015.
6. Nekrutkin V., Vasilinetz I. Asymptotic extraction of common signal subspaces from perturbed signals (in press) // *Statistics and Its Interface*.

## Приложение А

### **Численная иллюстрация полученных результатов**

Проверка и иллюстрация результатов, связанных с асимптотиками, будет проводиться следующим образом: исследуемая величина, например норма матрицы, вычисляется явно (если не сказано иное), затем считается отношение к теоретической асимптотике. На графике ожидается наблюдать сходимость этого отношения к 1 при достаточно больших  $N$ .

## А.1. Асимптотики собственных чисел

В обозначениях предложения 2.1.1 обозначим

$$\Theta_1(N) = \frac{\mu_{\min}}{\mu_{\min}^{as}} \quad \text{и} \quad \Theta_2(N) = \frac{\mu_{\max}}{\mu_{\max}^{as}},$$

где  $\mu_{\max}^{as}$  и  $\mu_{\min}^{as}$  — асимптотики максимального и минимального собственных чисел матрицы  $\mathbf{H}\mathbf{H}^T$ , приведенные в правых частях соотношений (2.1.4). Вычисление собственных чисел  $\mathbf{H}\mathbf{H}^T$  свелось с помощью пункта 2 леммы 1.1.1 к вычислению собственных чисел  $2 \times 2$  матрицы  $\mathbf{C}'$ , которое производилось с помощью встроенной функции языка R — "eigen".

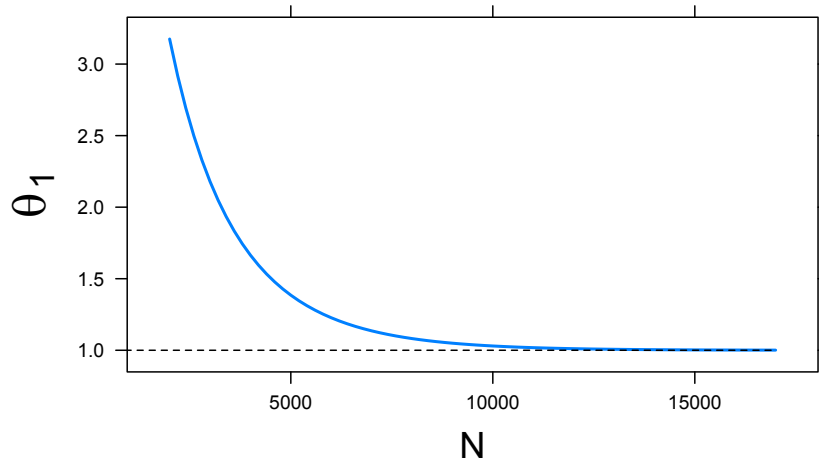


Рис. А.1: Поведение  $\Theta_1(N)$  при  $a_1 = 1.01$ ,  $a_2 = 1.0095$ ,  $c = 2$  и  $L = \lfloor (N + 1)/2 \rfloor$ .

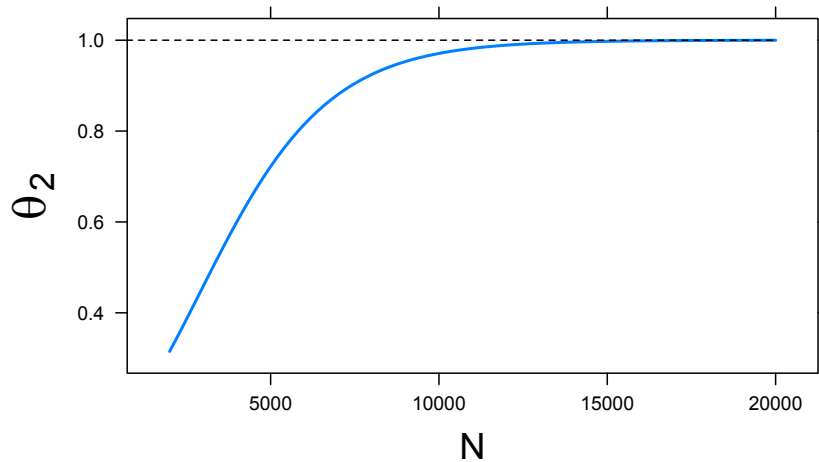


Рис. А.2: Поведение  $\Theta_2(N)$  при  $a_1 = 1.01$ ,  $a_2 = 1.0095$ ,  $c = 2$  и  $L = \lfloor (N + 1)/2 \rfloor$ .

## А.2. Асимптотики $\alpha_i$

Аналогично асимптотикам собственных чисел проверяются асимптотики  $\alpha_i$  (предложение 3.1.1). Обозначим  $\Xi_1(N) = \alpha_1/\alpha_1^{as}$  и  $\Xi_2(N) = \alpha_2/\alpha_2^{as}$ , где  $\alpha_i^{as}$  — асимптотики в правых частях (3.1.7) и (3.1.8). Вычисление  $\alpha_i$  производилось по формуле (3.1.4), а  $\mu_i$  для этой формулы вычислялись так же, как в разделе А.1.

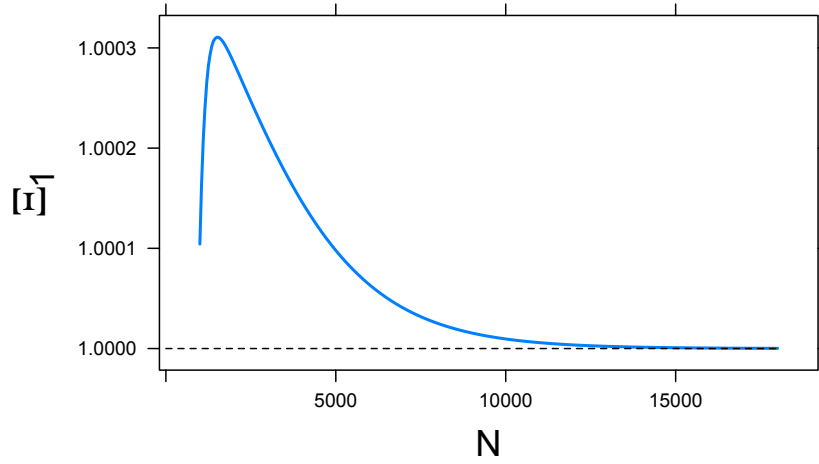


Рис. А.3: Поведение  $\Xi_1(N)$  при  $a_1 = 1.01$ ,  $a_2 = 1.0095$ ,  $c = 2$  и  $L = \lfloor (N + 1)/2 \rfloor$ .

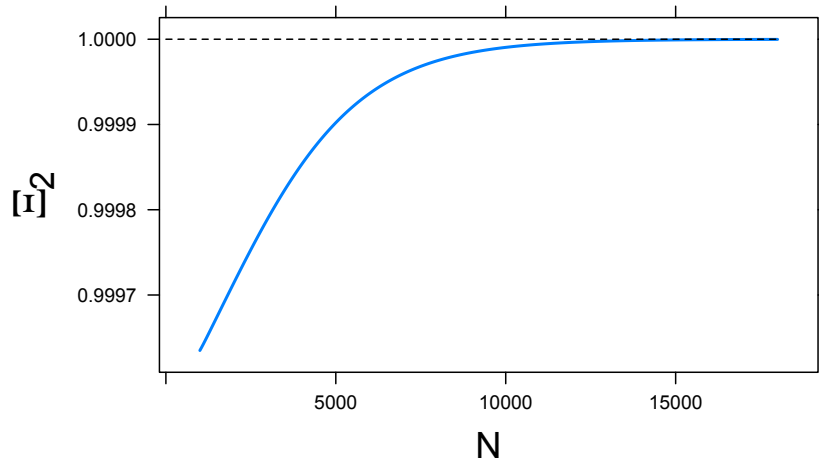


Рис. А.4: Поведение  $\Xi_2(N)$  при  $a_1 = 1.01$ ,  $a_2 = 1.0095$ ,  $c = 2$  и  $L = \lfloor (N + 1)/2 \rfloor$ .

### А.3. Асимптотика $\|\mathbf{S}_0\mathbf{B}(\delta)\mathbf{P}_0\|$

Следующий график иллюстрирует утверждение теоремы 3.1.1. Изображено асимптотическое поведение

$$D_S = \frac{\|\mathbf{S}_0\mathbf{B}(\delta)\mathbf{P}_0\|}{|\delta|d\sqrt{L}a_2^{-N}},$$

где константа  $d$  определена в (3.1.18). Норма вычислялась с помощью встроенной функции языка R — "norm", а матрица  $\mathbf{S}_0\mathbf{B}(\delta)\mathbf{P}_0$  строилась явно для каждого  $N$ . За подробным описанием построения можно обратиться к доказательству теоремы 3.1.1.

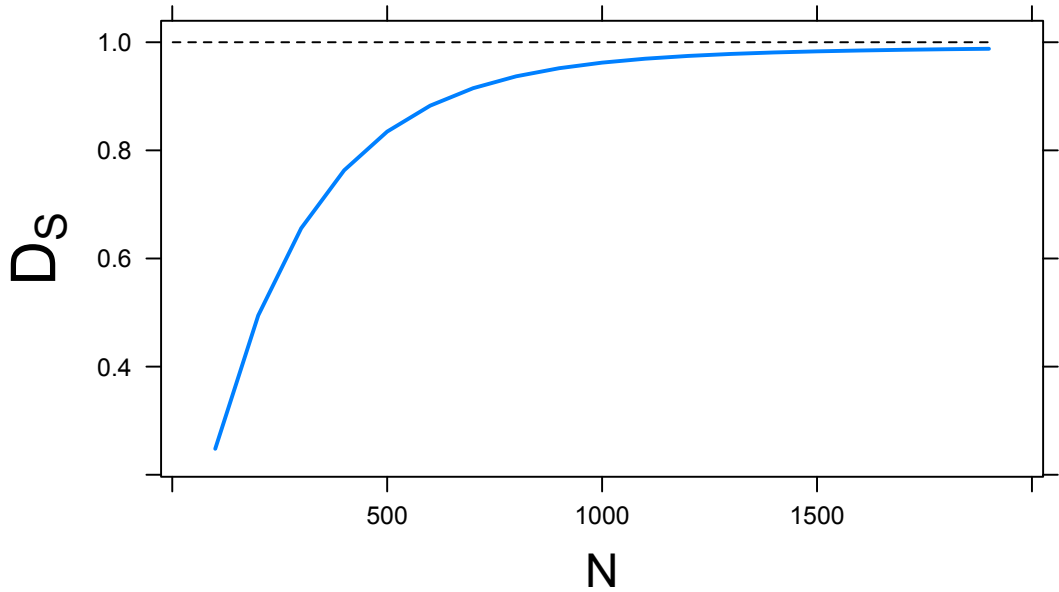


Рис. А.5: Отношение  $\|\mathbf{S}_0\mathbf{B}(\delta)\mathbf{P}_0\|$  к своей теоретической асимптотике. Параметры:  $a_1 = 1.2$ ,  $a_2 = 1.195$ ,  $c = -1$ ,  $L = \lfloor (N + 1)/2 \rfloor$ ,  $\delta = 1$ .

#### А.4. Асимптотика $\|\mathbf{V}_0^{(1)}\|$

График А.6 иллюстрирует утверждение теоремы 3.2.1, то есть асимптотическое поведение

$$D_V = \frac{\|\mathbf{V}_0^{(1)}\|}{d\sqrt{L}a_2^{-N}},$$

где константа  $d$  определена в (3.1.18). Как и в разделе А.3, норма вычислялась с помощью встроенной функции языка R — "norm", а матрица  $\mathbf{V}_0^{(1)}$  строилась явно, как в доказательстве теоремы 3.2.1.

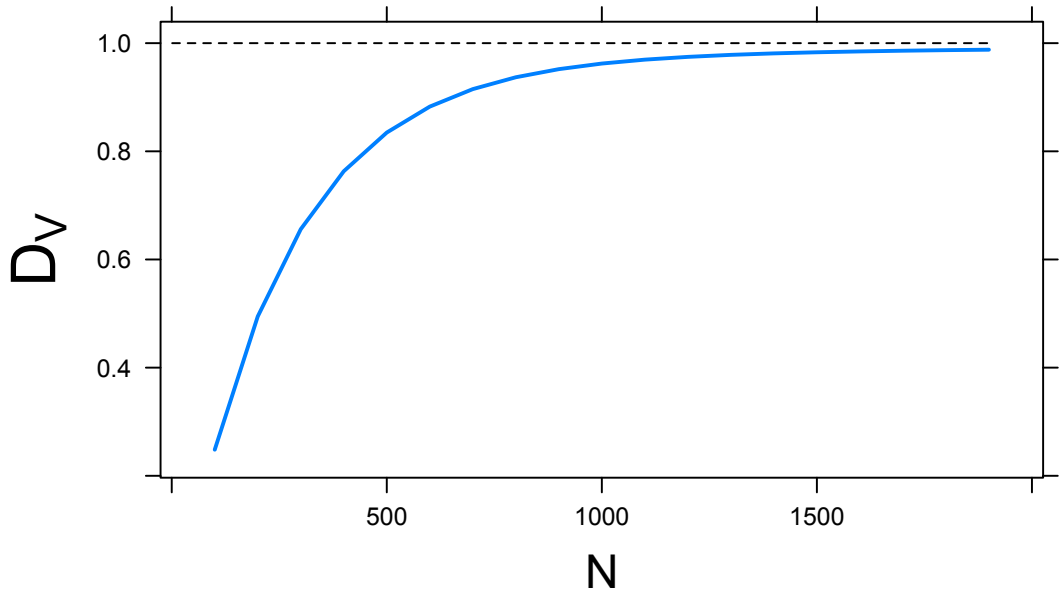


Рис. А.6: Отношение  $\|\mathbf{V}_0^{(1)}\|$  к своей теоретической асимптотике. Параметры:  $a_1 = 1.2$ ,  $a_2 = 1.195$ ,  $c = -1$ ,  $L = \lfloor (N + 1)/2 \rfloor$ .



### А.5. Ошибки восстановления последнего элемента

Сначала проверим асимптотику нижнего правого элемента матрицы (4.1.5). График А.7 иллюстрирует утверждение теоремы 4.2.1, то есть асимптотическое поведение  $D_r = r_{LK}/r_\infty$ , где  $r_\infty$  определено в (4.2.1), а  $r_{LK}$  — нижний правый элемент матрицы  $\mathbf{V}_0^{(1)}\mathbf{H}(\delta) + \mathbf{P}_0^\perp\mathbf{E}$ . При вычислении  $D_r$ ,  $r_{LK}$  строилось и вычислялось явно, следуя доказательству теоремы 4.2.1.

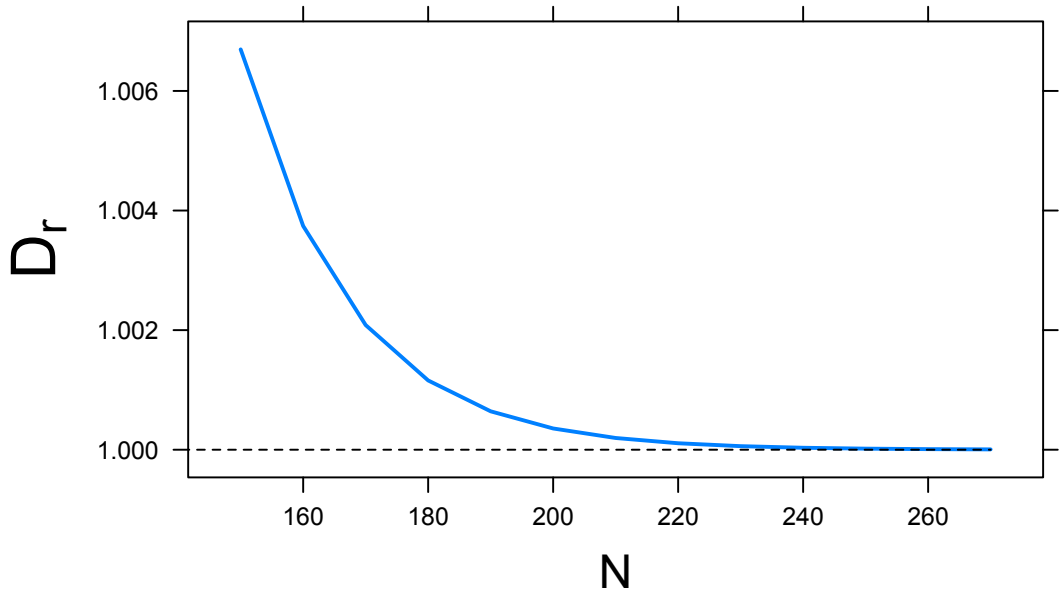


Рис. А.7: Отношение  $r_{LK}$  к своей теоретической асимптотике. Параметры:  $a_1 = 1.15$ ,  $a_2 = 1.13$ ,  $c = -2$ ,  $L = \lfloor (N + 1)/2 \rfloor$ ,  $\delta = 1$ .

Далее, проверим асимптотику реальной ошибки восстановления последнего элемента, посчитанной с использованием пакета "Rssa". Будем обозначать  $D_{ssa}$  отношение реальной ошибки восстановления последнего элемента ряда к  $r_\infty$ .

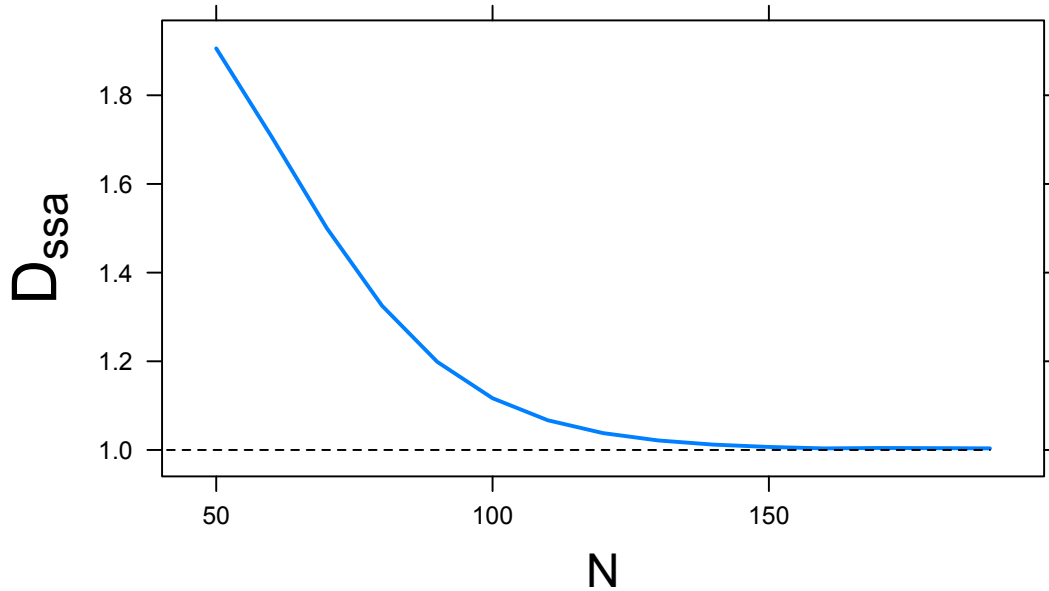


Рис. А.8: Отношение реальной ошибки восстановления последнего элемента ряда к своей теоретической асимптотике.

Параметры:  $a_1 = 1.15$ ,  $a_2 = 1.13$ ,  $c = -2$ ,  $L = \lfloor (N + 1)/2 \rfloor$ ,  $\delta = 1$ .

## А.6. Значения $r_\infty$

Поскольку не доказано, что  $r_\infty \neq 0$  (см. замечание 4.2.1), покажем это численно при некоторых  $a_1, a_2$ , удовлетворяющих условию  $1 < a_2 < a_1 < a_2^2$ . Вычислять  $r_\infty$  (на графиках —  $r_{inf}$ ) будем непосредственно, как определено в условии теоремы 4.2.1.

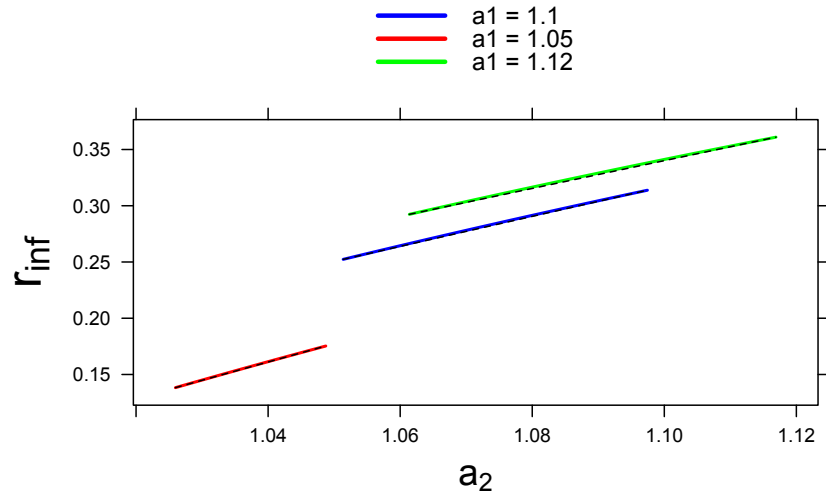


Рис. А.9: Значение  $r_\infty$  в зависимости от  $a_2$  при некоторых фиксированных  $a_1$ .

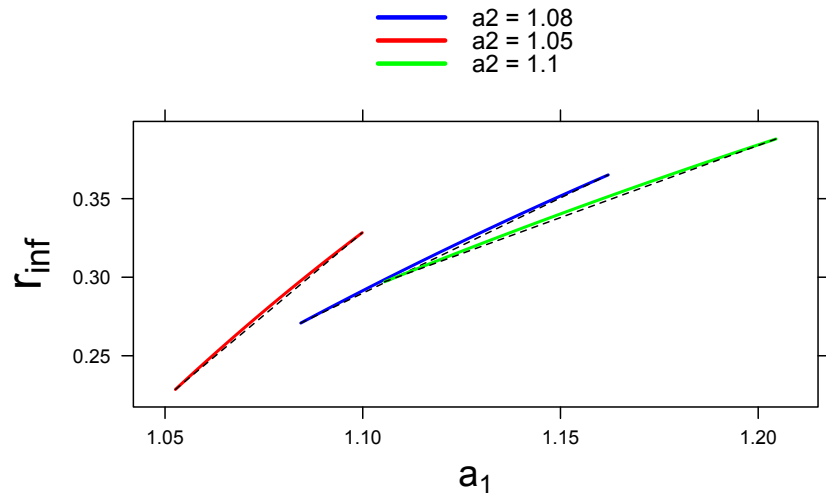


Рис. А.10: Значение  $r_\infty$  в зависимости от  $a_1$  при некоторых фиксированных  $a_2$ .

## А.7. Поведение нормы разности проекторов

Следующие графики обосновывают предположение о том что условие  $a_1/a_2^2 < 1$  не является необходимым для сходимости нормы разности проекторов к нулю. Будем обозначать  $D = \|\mathbf{P}_0^\perp(\delta) - \mathbf{P}_0^\perp\|$ .

$\mathbf{P}_0^\perp$  вычислялось следующим образом: сначала строились нормированные собственные вектора  $\mathbf{H}\mathbf{H}^\mathbf{T}$ , которые согласно (3.1.3), имеют вид  $U_i = (\alpha_i A_{L1} + A_{L2}) / \|\alpha_i A_{L1} + A_{L2}\|$  ( $\alpha_i$  вычислялись как в разделе А.2). Далее,  $\mathbf{P}_0^\perp = U_1 U_1^\mathbf{T} + U_2 U_2^\mathbf{T}$ . Что касается нормированных собственных векторов для  $\mathbf{P}_0^\perp(\delta)$ , то они вычислялись с помощью пакета "Rssa".

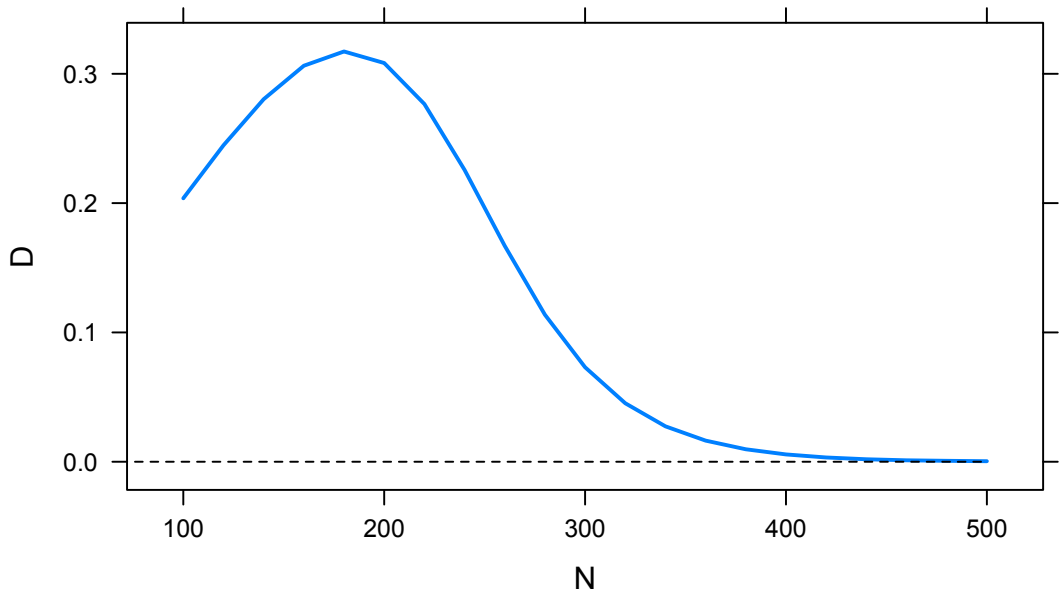


Рис. А.11: Поведение  $\|\mathbf{P}_0^\perp(\delta) - \mathbf{P}_0^\perp\|$  зависимости от  $N$ . Параметры:  $a_1 = 1.05$ ,  $a_2 = 1.03$ ,  $c = 0.1$ ,  $\delta = 1$ ,  $L = \lfloor (N + 1)/2 \rfloor$ . Условие  $a_1/a_2^2 < 1$  выполнено.

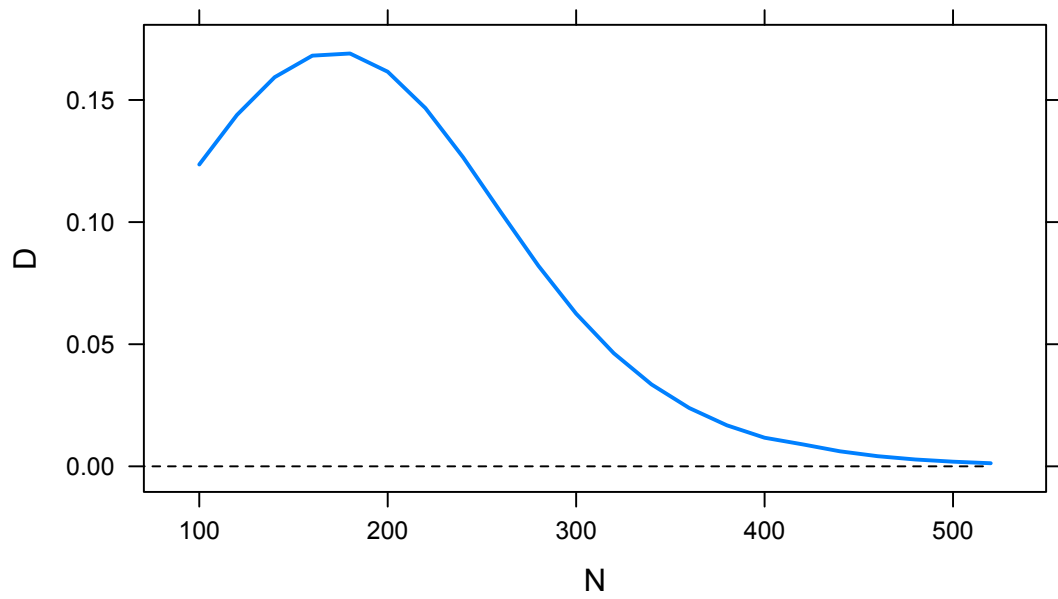


Рис. А.12: Поведение  $\|\mathbf{P}_0^\perp(\delta) - \mathbf{P}_0^\perp\|$  зависимости от  $N$ . Параметры:  $a_1 = 1.05$ ,  $a_2 = 1.022$ ,  $c = 0.1$ ,  $\delta = 0.3$ ,  $L = \lfloor (N + 1)/2 \rfloor$ . Условие  $a_1/a_2^2 < 1$  не выполнено.

## А.8. Главный член разности проекторов

Следующие графики обосновывают предположение о том, что  $\mathbf{V}_0^{(1)}$  является главным членом  $\mathbf{P}_0^\perp(\delta) - \mathbf{P}_0^\perp$  независимо от выполнения условий  $a_1 < a_2^{3/2}$  и даже  $a_1 < a_2^2$ .

Обозначим

$$D_m = \frac{\|\mathbf{P}_0^\perp(\delta) - \mathbf{P}_0^\perp - \delta \mathbf{V}_0^{(1)}\|}{|\delta| \|\mathbf{V}_0^{(1)}\|}.$$

Вычисление матриц  $\mathbf{P}_0^\perp(\delta)$  и  $\mathbf{P}_0^\perp$  проводилось так же, как в разделе А.7, а  $\mathbf{V}_0^{(1)}$  — как в А.4.

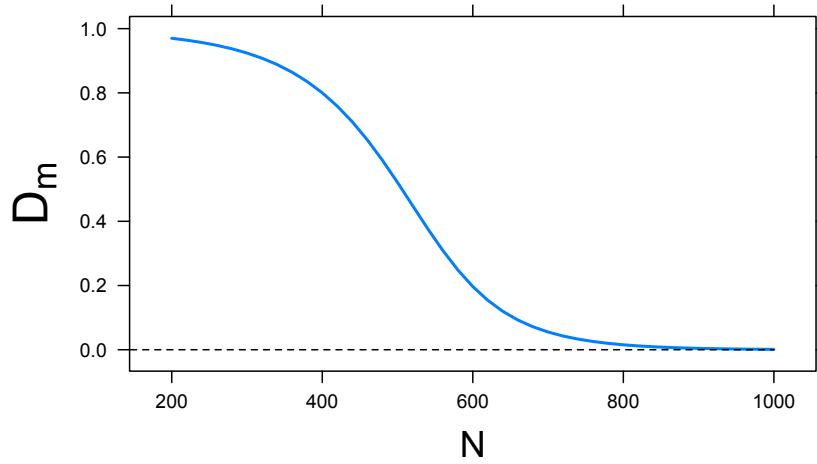


Рис. А.13: Отношение  $\|\mathbf{P}_0^\perp(\delta) - \mathbf{P}_0^\perp - \delta \mathbf{V}_0^{(1)}\|$  к  $\|\mathbf{V}_0^{(1)}\|$ . Параметры:  $a_1 = 1.02$ ,  $a_2 = 1.015$ ,  $c = 0.1$ ,  $\delta = 1$ ,  $L = \lfloor (N + 1)/2 \rfloor$ . Условие  $a_1 < a_2^{3/2}$  выполнено.

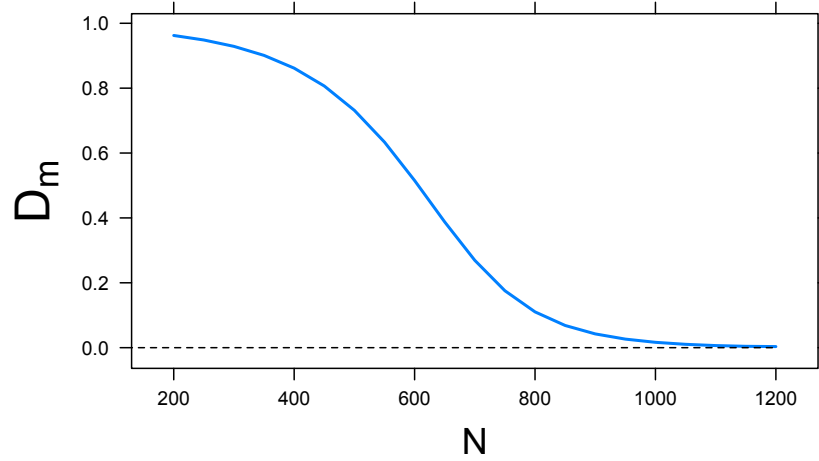


Рис. А.14: Отношение  $\|\mathbf{P}_0^\perp(\delta) - \mathbf{P}_0^\perp - \delta \mathbf{V}_0^{(1)}\|$  к  $\|\mathbf{V}_0^{(1)}\|$ . Параметры:  $a_1 = 1.017$ ,  $a_2 = 1.011$ ,  $c = 0.1$ ,  $\delta = 1$ ,  $L = \lfloor (N + 1)/2 \rfloor$ . Условие  $a_1 < a_2^2$  выполнено, но не выполнено  $a_1 < a_2^{3/2}$ .

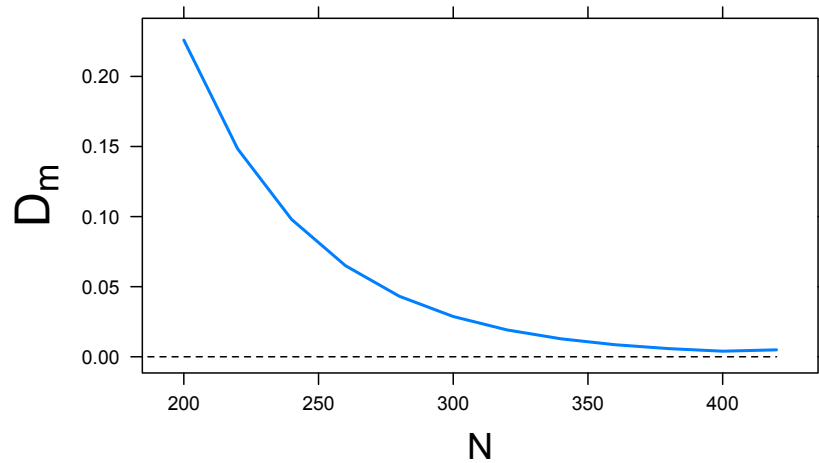


Рис. А.15: Отношение  $\|\mathbf{P}_0^\perp(\delta) - \mathbf{P}_0^\perp - \delta \mathbf{V}_0^{(1)}\|$  к  $\|\mathbf{V}_0^{(1)}\|$ . Параметры:  $a_1 = 1.05$ ,  $a_2 = 1.022$ ,  $c = -1$ ,  $\delta = 1$ ,  $L = \lfloor (N + 1)/2 \rfloor$ . Условие  $a_1 < a_2^2$  не выполнено.